

МИНИСТЕРСТВО ГЕОЛОГИИ СССР
МИНИСТЕРСТВО ГЕОЛОГИИ РСФСР
ДАЛЬНЕВОСТОЧНОЕ ПРОИЗВОДСТВЕННОЕ ГЕОЛОГИЧЕСКОЕ ОБЪЕДИНЕНИЕ

Уч. № 05

ГОСУДАРСТВЕННАЯ
ГЕОЛОГИЧЕСКАЯ
КАРТА СССР

МАСШТАБА 1:200 000

СЕРИЯ ДЖУГДЖУРСКАЯ

Лист №-53-VIII
(участок р.Лимну)

Объяснительная записка

Составитель Б.Л.Годлевич.
Редактор Ю.П.Даскандор

Утверждено Научно-редакционным советом ВСЕГЕИ
9 декабря 1971 г., протокол № 35

МОСКВА 1983

ВВЕДЕНИЕ

О ГЛАВЛЕНИЕ

Стр.

Введение	5
Геологическая изученность	6
Стратиграфия	10
Интузивные образования	33
Тектоника	55
Теоморфология	64
Полезные ископаемые	66
Подземные воды	80
Оценка перспектив района	82
Литература	86
Приложения	90

Территория листа №53-Ш расположена в Туруо-Чумиканском районе Касаровского края и ограничена координатами $54^{\circ}40'$ – $55^{\circ}20'$, с.ш. и $133^{\circ}00'$ – $134^{\circ}00'$, в.д. Северная ее часть относится к отрогам Станового, а южная – к системе Майского хребта. Отроги хр.Станового высотой до 1808 м вытянуты в меридиональном направлении. Майский хребет имеет близиитротное пространство и возвышается до отметки 1886 м. Рельеф представлен преимущественно средногорьем со скалистыми требневидными водоразделами выше 1000 м и крутыми обрывистыми склонами, рассечеными глубокими ложбинами и каррами. Около трети территории занимает выполненнное плакогорье с абсолютными отметками водоразделов 600–1000 м и относительными превышениями 400–800 м. Минимальные отметки (до 180 м) имеют долина р.Мая.

Большая часть гидросети принадлежит бассейну р.Мая (Юго-восточный), крупного левого притока р.Учи. Река Мая течет на восток. На западе района ее долина глубоко врезанная, ширина русла 150–200 м. Ниже устья р.Лимну она расширяется до 2–4 км, а русло разветвляется на множество проток, достигая в местах их слияния ширины 350 м. Глубина фарватера меняется от 2–5 м на плюсах до 0,5 м – на перекатах. Скорость течения от 0,2 до 3–5 м/с. Средний уклон тальвага – 0,003. Бурные каменистые перекаты преграждают русло р.Мая вблизи устьев рек Бартак и Сызбак. На остальных участках по реке можно передвигаться на моторной лодке. Лесосплав по р.Мая затруднен из-за обилия проток и частых летних паводков, при которых подъем уровня воды достигает 3–5 м. Крупные притоки р.Мая – Лиму, Чеборкан, Конный, Бартак, Гыга – быстрые порожистые горные реки шириной 20–30 м, с изменчивым водным режимом. С южных склонов Майского хребта стекают реки, непосредственно впадающие в р.Учу (Цац, Илев, Гыга, Чалырчин, Ногали).

Климат района суровый континентальный, подверженный влиянию муссонов. По данным ближайшей метеостанции "Джана", среднегодовая температура здесь $-5,7^{\circ}$. Среднемесячная температура в январе $-28,3^{\circ}$, в июле $+15,4^{\circ}$. Абсолютный минимум (-53°) прихо-

дится на начало февраля, а максимум (+38°) – на июль. Морозы длиятся с начала сентября до конца апреля. Среднегодовое количество осадков 345 мм. Большая часть дождей выпадает в июле и августе. Снежный покров держится с первых чисел октября до середины мая. В летнее время преобладают юго-восточные ветры, в зимнее – северо-западные. Район находится в зоне вечной мерзлоты, мощность которой более 40 м. В летнее время она оттаивает на глубину 0,2–3 м.

В долинах рек растут тополь, ель, лиственница, береза и осина. На склонах гор до высоты 700–800 м господствует лиственничная тайга. На высотах 800–1000 м преобладают заросли кедрового стланника. Еще выше расположена тундровая зона, покрытая хашами, лишайниками, реже кедровым стланником, кустарниковый бересой. Район экономически не освоен. Ближайший населенный пункт пос. Ульское, где имеется сельсовет и аэропорт, удален на 60 км к юго-востоку. Наземными путями сообщения в районе служат вырытые тропы вдоль долин рек Лимну, Май, Чеборкан, Кононный. Майский хребет пересекает русленная тропа, прослеживающаяся по р. Гите к р. Чалырки через перевал высотой 950 м над уровнем моря. Обнаженность неравномерная. Коренные выходы пород встречаются на гребнях водоразделов, на крутых склонах гор и по берегам рек. Большая часть территории покрыта ледниково-зандриальными осадками. Транспортировка в район возможна на вертолете или самолете АН-2. Для посадки самолета пригодны косы в широких участках долины р. Май.

ГЕОЛОГИЧЕСКАЯ ИЗУЧЕННОСТЬ

До 40-х годов текущего столетия исследовались лишь смежные площади, примыкающие к побережью Охотского моря и бассейну р. Уды. С середины прошлого века этот бассейн стал объектом поисков россыпного золота. До революции его обследовали Н. Г. Мелицкий (1850–1851 гг.), Н. П. Ансов (1857–1858 гг.), К. И. Богданович (1895 г.), К. В. Троховский (1909–1913 гг.), а в 30–40-х годах – П. С. Бернштейн (1937 г.), А. А. Леонович и Н. А. Раков (1939 г.). В результате их работ, имевших обзорный характер, были намечены общие черты геологического строения региона и выявлена белая золотоносность аллювиальных отложений.

В 1949–1952 гг. территория листа № 53-УШ была покрыта съемкой масштаба 1:1 000 000. Северо-восточную ее часть (бассейн

рек Чеборкан и Кононный) заснял Н. А. Раков (ДВГУ), а остальную – В. Н. Мощкин (ВСГИМ). Последний в 1952 г. в верховых р. Гите открыл Майское месторождение синклиново-линзовидных руд, а в 1953 г. в районе его прошел некондиционную геологическую съемку масштаба 1:200 000. При этих работах /24, 25/ была намечена схема поисковательностимагматизма, сохранившая свое значение понине. В 1953 г. Майская партия ДВГУ под руководством П. А. Элова произвела оценку Майского месторождения, которое оказалось непромышленным. Недопущенным остался юго-западный фланг рудной зоны /19/. Материалы исследований 1949–1953 гг. использованы при составлении Государственной геологической карты листа № 53 масштаба 1:1 000 000 /4/.

В 1956 г. в северной части территории была произведена аэромагнитная съемка масштаба 1:200 000 (Е. Г. Херутикова, ВАГТ), а в 1958 г. плоскость ее наращена к югу (И. И. Шапочкин, ДВГУ).

В 1956–1962 гг. сопредельные с севера территории были занесены в масштабе 1:200 000. В. В. Шихановым, ДВГУ /10/, В. Ф. Бубковым, ДВГУ /3/, Н. С. Шнак, ВАГТ /11/. Параллельно с этой съемкой в конце 50-х, начале 60-х гг. В. Н. Мощкин выполнил тематические исследования по разработке схем стратиграфии имагматизма восточной части Джуликско-Становой складчатой области. Полученные материалы изложены в рукописи Мощкина В. Н., Шнак Н. Д. Зеленко /26/ и в ряде статей В. Н. Мощкина /6, 7, 8/. В этих работах, применительно к данному району, метаморфические породы расчленены на Лучинскую и Ульянскую серии нижнего протерозоя; габброиды Куя-Маньенского массива отнесены к майско-джанинскому, а Сехтагского массива – к Джугджурскому (анортоситовому) комплексам раннего протерозоя. Стаковление гранитоидов Марагайского массива В. Н. Мощкин связал с этапом раннепротерозойского тектогенеза. Принципиально важным для понимания докембрийской геологии региона явилось выделение им в бассейне р. Уды джанинской серии архея, коррелирующей с Курультийской серией западной части Станового хребта.

В 1963–1966 гг. на площади смежных с ним листов произвели съемку масштаба 1:200 000 партии ДВГУ, возглавляемые Д. И. Шерой, Ф. С. Фроловым и С. М. Врагинским. Последний /12/ в области раннепротерозойского складчатого образования Адланского щита впервые выделил Чогарскую гипсу архея.

В 1963–1967 гг. Ульской экспедицией ДВГУ были проведены поиски золотоносных россыпей в бассейнах рек Нигали, Верх. Эльти, Промадей, Маган /18/, Кононный, Чеборкан, Лимну /27/ и в вер-

ховых р.Бол.Оманджи /21/. Промышленные россыпи не обнаружены. На водоразделе рек Чеборкан и Лиму В.И.Орлов /27/ выявил перспективное рудоносение молибдена.

В 1966-1969 гг. рассматриваемая площадь была закартирована в масштабе 1:200 000 Средне-Майской партией ДГТУ. В 1966 г. ее руководили Ю.А.Мамонтов, а затем - Б.Л.Годзевич. В 1967 г. по рекомендации Ю.А.Мамонтова в Межуречье Чеборкан и Лиму развернулись поисковые работы масштаба 1:50 000 по оценке поля мусковитоносных пегматитов /28/. Поля дана отрицательная оценка. В этот же период на шлюмах с запада и востока листов производили среднемасштабную съемку А.Ф.Васильев (N-53-IХ) и В.Н.Гончаров (N-53-II). В 1969 г. район покрыт гравиметрической съемкой масштаба 1:1 000 000 /22/.

Геологическая карта и карта полезных ископаемых листа N-53-II составлена по материалам работ Средне-Майской партии в 1966-1969 гг. /14/, с учетом предыдущих исследований. При этом использовались аэрофотоснимки масштаба 1:25 000 по залетам 1966 г., карта магнитного поля масштаба 1:200 000 и гравиметрическая карта масштаба 1:100 000. Снимки имеют хорошее качество, степень их ленифируемости неравномерна, чаще плохая. По ним выявлены: системы разрывных нарушений, границы рыхлых четвертичных отложений и редкие фрагменты стратиграфических и интрузивных контактов. На карте магнитного поля интерпретируются лишь крупные геологические тела и структуры (рис.1). Так, в центральной части площади полем отрицательной напряженности характеризуется крупный обширный блок нижнепротерозойских пород. Обширные поля положительной напряженности преимущественно создаются массивами ранненемеловых гранитоидов. В южной части площади и вдоль р.Май намечаются линейные зоны повышенных градиентов магнитного и гравиметрического полей, приуроченные к крупным разломам.

В составлении геологической карты листа, помимо автора за-писки, принимали участие Ю.И.Мамонтов, В.Н.Зинин, М.С.Давидович, И.Г.Нагаров, В.Ф.Шатов, Е.Н.Бредикис, В.Н.Попов, С.П.Круниц. Определительные работы выполнены в Комплексно-тематической экспедиции ДГТУ: химические анализы - Г.Г.Павличенко, А.Н.Герасимовой, Е.Г.Шаровой; палеонтологические определения - Л.Л.Казачкиной, И.Б.Мамонтовой, Л.И.Лукшовой; определения абсолютного возраста - Т.К.Кональчук.

С изданными геологическими картами сменных листов, выки получены новых материалов, возникли некоторые расхождения. Суть их следующая.



Рис.1. Карта магнитного поля

Изолинии $|\Delta T|/\text{м}^3$: 1 - положительные; 2 - отрицательные;
3 - купольные и кратные 5; 4 - точки экстремумов $|\Delta T|/\text{а}$ и их
значения в м3

На территории листа №-53-II // габбро и габбро-анортозиты Кун-Маньенского массива условно отнесены к раннему протерозою.

Данные автора записки, а также А.Ф.Васильева /13/ и В.Н.Гончарова /16/, свидетельствуют об архейском возрасте этих образований.

Кроме того, в бассейне р.Кустак в составе массива выделена фаза габбро-анортозитов, не показанная на карте листа №-53-II. Там же гранитодибы Чалбук-Яконского массива условно сопоставлены с джут-джутским комплексом раннего мела. Однако позже В.И.Орловым /27/ установлено, что эти гранитодибы перекрыты кислыми эффузивами, сходными с матейской свитой нижнего мела. В связи с этим, они включены в Улский комплекс раннемеловых интрузий. В бассейне р.Кустак, в краевой части Чалбук-Яконского массива, закартирована фауна кварцевых диоритов, не отображенная на смежном листе карты. Там же лайки кварцевых порфиров, фельзит-порфиров и фельзитов отнесены к палеогену (т.д.Ре). На рассматриваемой площади даики подобного состава генетически связаны с кислыми эффузивами матейской свиты (K_1 , mq) и альбитовыми гранитами позднего мела (γK_2).

На площади листа №-53-XIV /29/ джелонская свита расщеплена на две половины, а выше нее выделена толща умеренно кислых эффузивов (АпСг₁). В описываемом районе подобное членение джелонской свиты невозможно, вследствие изменчивости фаунистического состава отложений. В состав свиты включены и умеренно кислые эффузивы, поскольку они прорваны гранитодибами Улского комплекса.

СТРАТИГРАФИЯ

Стратиграфическое обозначение занимает около 35% территории. Оно делится на архейские, нижнепротерозойские, верхнепротерозойские, верхнерусские-нижнемеловые, нижнемеловые, четвертичные. Метаморфические породы архея сосредоточены в северной и южной частях площади, а нижнепротерозойские – в разделяющем их грабене широкого простирания. Небольшие выходы верхнего протерозоя расположены в юго-восточной части территории. Там же наиболее распространены и верхнерусско-нижнемеловые вулканические образования. В долинах рек развиты четвертичные аллювиальные, ледниковые и водно-ледниковые отложения.

А Р Х Е Й С К А Я Т Р У П П А

Д ж а н и н с к а я с е р и я

Метаморфические породы архея, объединенные в джанинскую серию, выходят в пределах Джугдуровского и Чагарского выступов Фундамента, занимающих соответственно северную и южную части платформы. Они представлены гнейсами и кристаллическими сланцами, редко гнейсировками, метаморфизованными в гранулитовой фации и прергнейсами региональный метафазез. От архейских серий юго-восточная часть Алданского щита джанинская серия отличается своеобразием резервом, в котором преобладают породы повышенной основности. Из трех свит, известных в ее составе, в районе распределены две верхние: Ульчанская и Иктандинская. Выделение их оканчивается возможным лишь в относительно крупных тектонических блоках, где сохранились породы с реликтами минералов гранулитовой фации метаморфизма. Сильно рассланцованные породы архея, разрезы в изодиляризованных тектонических киньях и ксенолитах, показаны на геологической карте как нерасщепленные отложения джанинской серии.

Ульчанская свита (АЗ и с) содержит гранат-биотитовые, биотитовые, гнейсы, амфибол-биотитовые, биотит-амфиболовые, амфибен-амфиболовые (иногда гранатодержащие) гнейсы и кристаллические сланцы. В Джугдуровском выступе свита имеет залежи в широтном направлении фрагменты ядер антиклинальных складок шириной до 4 км. Она характеризована здесь частными разрезами по скальным трещинам водоразделов. Нижняя ее часть, между речею Лимну и Чеборкан, имеет следующее строение (снизу вверх):

1. Гнейсы гранат-биотитовые графитсодержащие	70 м
2. Гнейсы биотит-амфиболовые	15 "
3. Гнейсы гранат-биотитовые с графитом	60 "
4. Гнейсы и кристаллические сланцы биотит-амфиболовые	20 "
5. Гнейсы гранат-биотитовые с графитом	100 "
6. Гнейсы гранат-диопсид-амфиболовые	10 "
7. Гнейсы гранат-биотитовые с графитом	30 "
8. Гнейсы гранат-биотитовые с реликтами прослоями амфиболовых кристаллических сланцев	15 "
9. Гнейсы биотитовые, гранат-биотитовые	30 "

10. Гнейсы гранат-биотитовые с редкими прослоями био-	
ти-амфиболовых кристаллических сланцев	100 м
Мощность по разрезу 450 м.	
Верхняя часть свиты на водоразделе рек Лимн и Кустак пред-	
ставлена следующими отложениями (снизу вверх):	
1. Гнейсы биотит-амфиболовые	150 м
2. Гнейсы гранат-биотитовые, часто содержащие гра-	
фит	200-250 "
3. Гнейсы и кристаллические сланцы биотит-амфибо-	
ловые с прослоями (до 2 м) гранат-биотитовых гнейсов	40 "
4. Гнейсы гранат-биотитовые	10 "
5. Тонко переслаивающиеся гнейсы гранат-биотитовые,	
биотит-амфиболовые и пироксен-амфиболовые	20 "
6. Гнейсы гранат-биотитовые	60 "
7. Кристаллические сланцы и гнейсы амфиболовые,	
биотит-амфиболовые	100 "
8. Гнейсы гранат-биотитовые с графитом	10 "
9. Гнейсы биотит-амфиболовые и кристаллические слан-	
цы	150-160 "
10. Гнейсы гранат-биотитовые	30 "
Мощность по разрезу 770-830 м. Контакт между Ульчунской	
и Иккандинской свитами по этому разрезу тектонический.	
В пределах Чогарского выступа архей Ульчунская свита обра-	
зуется выходы площадью до 10-30 км ² . По р. Чеборкан верхняя пачка	
ее (200 м) представлена лейкократовыми мелкоклинистыми биотито-	
выми гнейсами с прослоями пироксен-амфиболовых кристаллических	
сланцев.	
Мощность Ульчунской свиты не менее 1500 м. Особенность ее	
строения заключается в уменьшении объема гранатсодержащих гней-	
сов от 80% в нижней ее части до 40-45% - в верхней. Граница с	
иккандинской свитой проводится по исчезновению этих пород в раз-	
резе.	
И к т а н д и н с к а я (арк.) сложена ам-	
фиболовыми, пироксен-амфиболовыми, биотит-амфиболовыми кристал-	
лическими сланцами и гнейсами с прослоями и линзами кальциевидов,	
амфибол-биотитовых и биотитовых гнейсов. Она встречается обычно	
совместно с Ульчунской свитой и лишь по р. Кустак слагает обо-	
собленные ксенолиты среди раннечетвертичных гранитоидов. Согласные	
контакты между свитами в коренных обнажениях наблюдались в пра-	
водоразделе р. Салта - Лимну и в верхнем течении р. Чеборкан. Разрез	
нижней части Иккандинской свиты на водоразделе рек Лимн и Кус-	

так представлен следующими породами (снизу вверх):

1. Гнейсы и кристаллические сланцы пироксен-амфибо-	
ловые	180 м
2. Кристаллические сланцы двухпироксен-амфиболовые	150 "
3. Гнейсы и кристаллические сланцы амфиболовые, би-	
отит-амфиболовые и пироксен-амфиболовые	200-220 "
4. Гнейсы биотит-амфиболовые	70-100 "
5. Кристаллические сланцы двупироксен-амфибolo-	
вые	10 "
6. Гнейсы и кристаллические сланцы амфиболовые, пир-	
роксен-амфиболовые в частом чередовании	150-160 "
Мощность по разрезу 760-820 м.	
В Чогарском выступе, вдоль р. Чеборкан, в составе свиты ви-	
деляются следующие пачки:	
1. Гнейсы и кристаллические сланцы амфиболовые, пиро-	
роксен-амфиболовые с прослоями кальциевидов (2-5 м)	200 м
2. Гнейсы амфиболовые, иногда пироксенсодержа-	
щие	120-150 "
3. Кристаллические сланцы амфиболовые, пироксен-	
амфиболовые, редко гнейсы биотитовые	300-350 "
4. Гнейсы амфиболовые, пироксен-амфиболовые с редки-	
ми прослоями кристаллических сланцев того же состава	300-350 "
Мощность по разрезу 920-1050 м. Общая мощность свиты оце-	
нивается в 1800 м. Для Иккандинской свиты характерна монотон-	
ность разреза, нарушенная варвашей основности пород в различных	
пластиках. Прослои и линзы кальциевидов тяготеют к низам разреза.	
По простиранию они не выдержаны и встречаются преимущественно в	
восточной части территории.	
Минеральный состав пород архей изменчив, как вследствие	
их различного исходного состава, так и неодинаковой степени рег-	
ессивного метаморфизма. Слабо диафторированные пироксенсодержа-	
щие и биотит-гранатовые гнейсы и сланцы сохраняются спорадиче-	
ски. Эти породы имеют мелкоклинистую полосчатую текстуру. Пиро-	
ксенсодержащим породам присущ табачный оттенок. Биотит-гранатовые	
гнейсы светло-серые с темно-бурыми зернами граната. Гораздоши-	
ре распространены амфиболизированные аполироксеновые и биотитизи-	
рованные апогранатовые гнейсы и сланцы, не претерпевшие расслан-	
цевания и сохранившие текстурные особенности исходных пород.	
Окраска аполироксеновых пород зеленовато-серая за счет амфибила,	
развитого в виде псевдоморфоз по пироксену. Апогранатовые гней-	
сы - серые, ржаво-серые, пятнистые породы с изометричными псевдо-	

морфозамы мелкочешуйчатого биотита по гранату. В тех и других породах сохраняются реликты первичных высокогемпературных минералов. Около синдицитовых разломов породы преобразованы в амфиболовые, биотит-амфиболовые, биотитовые областомиты, практически лишенные реликтов исходных минералов. Ретросиний метаморфизм проявлен зонально и степень его в целом понижается по мере удаления от грабена, сложенного нижнепротерозойскими породами. Ниже описываются ряды пород близкого исходного состава, но с различной степенью изменений.

Биотит-гранатовые, гранат-биотитовые, биотитовые гнейсы обладают гранобластовой, порфиробластовой структурами и наложенным гетеробластовой, глимеробластовой и микролемногранобластовой структурами. Первичными минералами являются (в %): андезин № 33-37 - до 50-60, кварц - 15-50, микроклин-пертит - 0-30, темно-бурый гранат - 0-10, красно-бурый биотит - 0-12. Вторичные минералы (в %): олигоклаз № 18-20, зеленовато-коричневый биотит - 0-15, красный гранат - до 1-2, мусковит - 0-5, пойзит - до 5, хлорит - до 5. Аксессорные минералы: графит, апатит, циркон, рутил, титаномагнетит, монацит. В породах обычно присутствуют по две генерации плагиоклазов, биотитов и гранатов. Измененные плагиоклазы обладают прямой пигментной зональностью. Зеленовато-коричневый биотит замещает красно-бурый биотит и темно-бурый гранат. Полуразложенный первичный биотит содержит обильные выделения сапонита. Гранат первичной генерации имеет показатель преломления I, 806-1, 813, а вторичный, более бледноокрашенный - I, 774.

Химический состав биотит-гранатового гнейса ульчунской свиты (обр. 382, верхнее течение р. Чеборкан) следующий (в %): SiO_2 - 67,1; TiO_2 - 0,95; Al_2O_3 - 15,37; Fe_2O_3 - 2,28; FeO - 3,69; MnO - 0,04; MgO - 2,21; CaO - 1,83; Na_2O - 3,60; K_2O - 2,08; SO_3 - 0,34; P_2O_5 - 0,14; H_2O - 0,87. Порода пересечена глиноzemом. В проекции на развернутое сечение тетраэдра П. Ниггли она попадает на границу полей глинистых осадков и изверженных пород. Вероятнее всего, подобные гнейсы возникли за счет глинистых пород.

Циркоцен-амфиболовые, биотит-амфиболовые, амфибол-биотитовые гнейсы и кристаллические сланцы имеют гранобластовую структуру, осложненную в результате рассланцевания и дифтореза элементами апогранобластовой, гетеробластовой, немагнобластовой и лепидобластовой структур. Породы состоят (в %): из плагиоклаза - 45-70, гиперстена и диопсида - 0-10, амфиболов - 5-40, биотита - 0-12, кварца - 0-27, микроклина - 0-20; незначительно

развиты - до 2 - эпидот, хлорит, серрилит, пренит и аксессорные минералы - магнетит, апатит, циркон, сфин, рутил. Состав плагиоклазов изменяется от № 42 в свежих породах до № 25 в дифторезанных. Часть пород содержит первичную роговую обманку, не имеющую реакционных соотношений с циркоценами. Она плеохроирует в коричневых тонах ($c:\text{Ng} = 18^\circ$, $2V = -78^\circ$). Но преобладают вторичные амфиболы актинолит-тремолитового ряда, образующие псевдорифзы по циркоценам. По периферии этих псевдорифзов нередко развита голубовато-белая роговая обманка ($2V = -65-73$, $c:\text{Ng} = 15-19^\circ$). Иногда она непосредственно замещает циркоцен и коричневую роговую обманку. Биотит представлен первичной генерацией красно-бурового цвета и более широко развитой вторичной, плеохроирующей в коричнево-зеленых тонах. Гиперстен и циркоцен встречаются порознь и совместно. Гиперстен слабо плеохроичен ($2V = -48^\circ$). Циркоцен в проходящем свете бледно-зеленый ($c:\text{Ng} = 38-40^\circ$, $2V = +64^\circ$). Рассмотренные породы по минеральному составу близки к ряду габбродордов. Учитывая то, что они переслаиваются с кальцифирами и выдержаны по простиранию, предполагается вероятным их образование за счет основных вулканогенных пород.

Гранат-циркоцен-амфиболовые гнейсы и кристаллические сланцы содержат (в %): плагиоклаз - 10-55, кварц - 0-35, биотит - 1-5, гранат - 7-25, гиперстен - 0-1, циркоцен - 0-5, амфибол двух типов - 15-30, пойзит - до 7.

Кальцифиры - белые, розоватые, зеленоватые, массивные породы. Структура их гранобластовая. Форстеритовые кальцифиры содержат (в %) кальцита и доломита - 70-83, форстерита - 10-25, флогопита - до 5 и вторичные минералы (в %): серпентин - 2-4, борисит - до 1. Циркоценовые кальцифиры состоят (в %) из кальцита, доломита - 80,83, циркоцида - 3-5, флогопита - до 2 и вторичных минералов - тримолита - до 4, пойзита, клиноподиита - 5, брукита - до 3 и серпентина - до 3. Спорадически встречаются кварц - до 5, скаполит - 2 и сфен. Содержание главных окислов в кальцифирах верхнего течения р. Чеборкан (в %) следующее (I - общее содержание, 2 - растворимая часть):

№ об- раз- да	MgO	CaO	Fe_2O_3	Al_2O_3	SiO_2	H_2O				
I	2	1	2	I	2					
2125	5,63	5,26	48,23	47,98	0,33	0,32	0,41	0,24	2,83	0,24
2125В	2,00	1,59	45,80	45,55	1,57	1,55	2,31	0,96	II,36	0,44

Это доломитистые и слабодоломитистые известковые породы.

Н е р а с ч л е н и в ш е с я о т л о х е н и я (AR d_7)

выделены вдоль северной окраин Чагарского выступа, между низовьями рек Сехтаг, Лиму и Бактычак. Породы здесь интенсивно областоминерализованы и диагностированы. На фоне областоминералитов сохраняются биотитовые, амфибол-биотитовые, гранат-биотитовые, пироксен-амфиболитовые (аплипироксеновые) гнейсы и кристаллические сланцы. Наличие широкосенсоргерающих пород, ассоциированных с гнейсами и амфиболитами, позволяет сопоставлять данные образования с архейскими. Ксенолиты город нерасщлененного архея площаю до 1-2 км² выделены также среди архейских гранитоидов, в среднем течении р.Карыялак и в верховых р.Совзак. Они сложены в основном амфибол-диапироксеновыми кристаллическими сланцами.

Ассоциации реликтовых минералов в породах архея (андезина, гиперстена, диоптида, граната, коричневой роговой обманки, красно-бурового биотита) свидетельствуют о метаморфизме в условиях широксен-ротовообманковой субдиации гранулитовой фации. Вторичные ассоциации отражают условия амфиболитовой (олигоказ, роговая обманка, биотит, гранат) и эпидот-амфиболитовой (биотит, актинолит) фазы метаморфизма.

Верхняя граница возраста джанинской серии определяется наложением на нее регионального диагноза в амфиболитовой, эпидот-амфиболитовой фации, изобицального с прогрессивным метаморфизмом нижне-протерозойского становового комплекса. Возрастное взаимоотношение джанинской серии с археем Алданского щита не ясно, поскольку их разделяют на севере территории Кун-Маньенский и Чалсук-Якотский интрузивные массивы. Сходство серии с алданским комплексом заключается в единой степени прогрессивного метаморфизма. Различие между ними состоит как в особенностях структурно-литологических разрезов, так и в приуроченности к джанинской серии крупных массивов архейских габброродов и амортозитов /13, 16/. Это может свидетельствовать в пользу принадлежности последней к особой структурно-формационной зоне. Возраст биотит-гранитового гнейса (обр.31, басс.р.Чеборкан) оказался равным 220 млн. лет (калий-аргоновый метод, валовая проба, K = 4,76%, Ar = 74,2 мт/г, $\frac{Ar}{Ar_{40}} = 0,0128$). К западу от исследованной территории в Токско-Сиваканской глыбе архея, сложенной склонным комплексом, по уступному сообщению Л.П.Карсакова, возраст гиперстена из кристаллического сланца равен 3005±120 млн. лет (калий-аргоновый метод, определен также на водоразделе рек Совзак и Лев.Лих в районе руч.Ниж.Маргай). Породы нижнего протерозоя делятся снизу вверх на три свиты – сивакансскую, куманскую и лявлинскую.

С и в а к а н с к а я (РР₁, v) выходит на поверхность в южной части грабена. Она сложена ротовообманковыми биотитами, биотит-ротовообманковыми, биотитовыми гнейсами, амфиболитами, реже гранат-биотитовыми и двуслюдянными гнейсами. В нижнем течении р.Лиму по коренным выходам установлен следующий разрез свиты (снизу вверх):

1. Гнейсы ротовообманково-биотитовые с прослоями биотит-ротовообманковых, биотитовых гнейсов и амфиболитов	50 м
2. Гнейсы биотит-ротовообманковые с подчиненными прослоями ротовообманково-биотитовых гнейсов и амфиболитов	40 "
3. Гнейсы ротовообманково-биотитовые в частом чередовании с биотитовыми гнейсами	50 "
4. Гнейсы биотит-ротовообманковые	30 "
5. Гнейсы гранат-биотитовые, тонкополосчатые	50 "
6. Гнейсы ротовообманково-биотитовые и биотитовые	40 "
7. Гнейсы биотитовые, гранат-биотитовые	20 "
8. Гнейсы ротовообманково-биотитовые, биотит-ротовообманковые, реже биотитовые гнейсы и амфиболиты	170 "

Мощность по разрезу 450 м. Выше согласно залегают породы куманской свиты. В среднем течении р.Чеборкан по коренным выходам изучен более глубокий срез сиваканской свиты. Он представлен наложенной существенно биотитовых тонкополосчатых гнейсов (120 м), на которой залегают амфиболиты с прослоями биотитовых, биотит-ротовообманковых, ротовообманково-биотитовых и двуслюдянных гнейсов (420 м). Видимая мощность свиты оценивается в 1000-1100 м. Условно к сиваканской свите относятся биотитовые и ротовообманковые гнейсы, заключенные в тектонических блоках в районе водораздела рек Совзак и Цвр.Лих (4 км²) и в правобережье руч.Ниж.Маргай (1 км²). По составу, текстуре и степени метаморфизма они близки к гнейсам, слагающим Майско-Ульский грабен.

ПРОТЕРОЗОЙ НИЖНИЙ ПРОТЕРОЗОЙ

Их мигматизируют раннепротерозойские (?), серые, гнейсовые, граниты, а также, типичные для архейских толщ, не встречаются.

Куманская свита (P_1 , k_m) распространена в междуречье Лимчу - Кононный и в нижних р.Борогон. Примерно на 80% она состоит из гранат- и эпилогодержащих биотитовых и двуслюдянных гнейсов. Им полноценны прослои роговообманных-биотитовых, биотит-роговообманных, иногда гранатодержащих, гнейсов и амфиболитов. Наиболее представительный разрез составлен вдоль береговых обрывов р.Лимчу. От контакта с сиваканской свитой по правому берегу он представлен следующими породами (снизу вверх):

1. Гнейсы биотитовые и двуслюдянные, часто гранатодержащие, с единичными прослойками гранат-биотит-роговообманных гнейсов (2 м) и гранатовых амфиболитов (4 м) 130 м
2. Гнейсы роговообманные-биотитовые, гранат-биотитовые и амфиболиты в тонком переслаивании 30 "
3. Гнейсы биотитовые и двуслюдянные, часто гранатодержащие 130 "
4. Гнейсы биотит-роговообманные, роговообманные-биотитовые, спорадически содержащие гранат 80 "
5. Гнейсы биотитовые, двуслюдянные, гранатодержащие, с прослойками биотит-роговообманных гнейсов и амфиболитов 530 "
6. Гнейсы роговообманково-биотитовые, реже амфиболиты 50 "
7. Гнейсы биотитовые и двуслюдянные, часто гранатодержащие, с редкими прослойками роговообманных-биотитовых, биотит-роговообманных гнейсов и амфиболитов 260 "

Мощность по разрезу 1210 м. Для верхней части куманской свиты по разрезу 1210 м. Для верхней части куманской свиты по левому берегу р.Лимчу характерны следующие породы (снизу вверх):

1. Гнейсы биотитовые, двуслюдянные, гранатодержащие, с прослойками роговообманково-биотитовых гнейсов 234 м
2. Гнейсы биотитовые, роговообманные-биотитовые и амфиболиты 14 "
3. Гнейсы гранат-биотитовые 8 "
4. Гнейсы биотитовые, роговообманные-биотитовые, биотит-роговообманные и амфиболиты в тонком чередовании 35 "

X/ В названиях пород эпилог отсутствует.

5. Гнейсы биотитовые, двуслюдянные, гранатодержащие, с прослойками амфиболитов 67 м

6. Гнейсы гранат-биотит-роговообманные 10 "

7. Гнейсы биотитовые и двуслюдянные, гранатодержащие 180 "

Мощность по разрезу 548 м. Выше согласно залегают породы лавлинской свиты.

Мощность куманской свиты составляет примерно 1700 м. Нижняя и верхняя ее границы проводятся по появлению и исчезновению в разрезе мощных пачек гранатодержащих биотитовых и двуслюдянных гнейсов.

Дальская свита (P_1 , f_v) сохранилась в северной части Майско-Унского тягбена, в полосе шириной до 4-6 км. В ее разрезе пестро переслаиваются биотит-роговообманные, роговообманные-биотитовые, биотитовые, двуслюдянные, иногда гранатодержащие, гнейсы, амфиболиты, реже мраморы и кальцифиды.

На основании изучения детальных разрезов по рекам Лимчу и Чеборкан свита грубо разделяется на три мощные пачки.

1. Биотит-роговообманные, гранат-биотит-роговообманные, роговообманные-биотитовые гнейсы и амфиболиты, реже биотитовые, двуслюдянные, иногда гранатодержащие гнейсы; в верхах пачки прослои мраморов и кальциферов мощностью до 10 м 550-650 м

2. Двуслюдянные, биотитовые, иногда гранатодержащие гнейсы, прослои биотит-роговообманных гнейсов и амфиболитов 800-1000 "

3. Биотит-амфиболитовые, биотитовые, двуслюдянные гнейсы и амфиболиты, в основании пачки линзы мраморов . . . до 750 "

Мощность свиты 2100-2400 м. К ее верхам постепенно ослабевает степень протессивного метаморфизма пород: роговая обманка становится более светлой и сменяется актинолитом и параситом; увеличивается количество эпилога, понижается основность платиоклаза, исчезает гранат.

Петрографические особенности нижнепротерозойских пород следующие.

Биотитовые, двуслюдянные гнейсы и их гранатодержащие различия.

Видности имеют светло-серую, розово-серую окраску. Текстура гнейсования, неравномернополосчатая. Структура лепидолитогранобластовая, иногда порфиробластовая за счет зерен граната (2-5 мм). Породообразующие минералы (в %): платиклаз - 40-50, кварц - 15-35, биотит - 7-18, мусcovит - 1-7, микроклин - 0-15, гранат -

0-7, эпилот - 0-12, вторичный хлорит - 1-5 ; акцессорные: циркон, магнетит, апатит, реже сфен и монацит. Состав шлифокластов варьирует от № 14 до № 28. Основность их понижена в верхах лавлинской свиты. Чешуй биотита и мусковита идиоморфны. Микроклин присутствует в миниматизированных породах, корродирует зерна шлифоклаза. Гранат макроскопически розовый, в шлифах бесцветный. Эпилот образует идиоморфные зерна. Описанные минералы (оксидная микроклин) не имеют друг с другом реакционных соотношений и находятся в равновесной ассоциации. Гранат-биотитовый тнгельт (обр. 2054, куманская свита, р. Чеборкан) содержит (в %): SiO_2 - 59,63; TiO_2 - 0,91; $\text{Al}_{2,3}^{0,3}$ - 17,53; $\text{Fe}_{2,3}^{0,3}$ - 3,24; FeO - 3,05; MnO - 0,09; Mg - 2,48; CaO - 6,38; Na_2O - 3,87; K_2O - 1,71; P_2O_5 - 0,29; CO_2 - 0,09; H_2O - 0,74. Порода, в отличие от архейского гранатсодержащего гнейса, недонасичена глином. Число П.Ниггли $t = -4,4$.

Роговообманково-биотитовые, биотит-роговообманковые гнейсы и их гранатсодержащие разновидности - серые, темно-серые, тонкополосчатые породы. Структура нематогранобластовая с элементами лепидобластовой. Они содержат (в %) шлифоклаз № 15-30 - 40-55, кварц - 10-20, зеленовато-коричневый биотит - 3-15, роговую обманку - 5-35, гранат - 0-7, микроклин - 0-3, эпилот - 0-8 и акцессорные - апатит, циркон, сфеен, магнетит, редко рутил. Роговая обманка обычно плеохроирует в зеленых, голубовато-зеленых тонах ($2V = -66,68^\circ$, $c:\text{Ng} = 18-22^\circ$). В верхах лавлинской свиты беледноокрашенные разновидности амфибола близки к ряду актинолита-тремолита ($2V = -84^\circ$, $c:\text{Ng} = 16^\circ$). Иногда здесь присутствует также бесцветный пargasит ($2V = +70^\circ$, $c:\text{Ng} = 23^\circ$).

Амфиболиты - зеленовато-серые, гнейсовидные, полосчатые породы. Структура нематогранобластовая. Породообразующие минералы (в %): роговая обманка - 50-65, шлифоклаз № 20-35 - 25-30, кварц - 1-15, эпилот - 1-6, гранат - 0-5, биотит - 0-5; акцессорные: сфеен, апатит, магнетит.

Мраморы и кальцифиры - белые, либо серые, слоистые породы с гранобластовой структурой. Постоянными компонентами являются кальцит (70-92%) и серпентин (1-5%). В кальцифирах присутствуют (в %): кварц - до 5, шлифоклаз - до 10, диопсид - до 3, тремолит - до 12, доломит, флогопит, тальк, микроклин, графит, сфеен. Содержание (в %) главных окислов в кальцифирах (обр. 2018-а, лавлинская свита, р. Чеборкан,) следующее:

Оксиды		MgO	CaO	SiO_2	$\text{Fe}_{2,3}$	$\text{Al}_{2,3}$	H_2O
Содержание, %	Общее расство- римой части	1,47	50,18	6,32	0,29	1,24	0,44

Парагенетические ассоциации олигоклаза, биотита, мусковита, роговой обманки, граната и эпилита указывают на метаморфизм нижне-протерозойских пород в условиях низкотемпературной ступени амфиболитовой фации. Ассоциации альбит-олигоклаза, биотита, мусковита, эпилита, актинолита, пargasита в верхах разреза лавлинской свиты свидетельствуют о понижении степени метаморфизма до эпилит-амфиболитовой фации.

Возраст описываемых пород обосновывается меньшей степенью их метаморфизма относительно джанингской серии и наложением на последний изоференального с этим метаморфизмом дифтореза. Нижне-протерозойский комплекс отличается от архейского также по магматизму и стилю складчатости (см. соответствующие главы). С другой стороны, он древнее верхне-протерозойских отложений, судя по тому, что те регионально не метаморфизованы. Задаче рассмотриваемого района Майско-Удской грабен, по данным Л.П.Караскова /20/, смыкается с общирным полем становового комплекса, обрамляющим Алданский щит. Нижне-протерозойский возраст этого комплекса до недавнего времени признавался большинством исследователей региона (5, 7). Радиогеологический возраст пород до 1900-2200 млн. лет /2, 9/ не противоречит этому представлению. Однако, как на западе, так и на востоке региона установлено, что породы, метаморфизованные в амфиболитовой фации и сопоставимые по этому признаку со становым комплексом, перекрыты протоплатформенными образованиями улугунской и уланской серий с абсолютным возрастом 1900-1950 млн. лет /9/. Эти данные позволяют ряду исследователей /2/ относить становой комплекс к верхнему архею, что пока не является бесспорным.

ВЕРХНИЙ ПРОТЕРОЗОЙ

К верхнему протерозою относятся впервые выделяемые в районе нальчикская свита известняков, доломитов, песчаников, алевро-

литов и немериканская свита дна базов, диабазовых порфиритов с линзами туфов и кремнистых пород.

На льдинской свите (PR_1 , n^f) сохранилась в межгоречье Маган - Промадей (Нальдинский блок, 24 км^2), верховьях рек Гиги и Чалирин (Чалиринский блок, 12 км^2) и в междуручье Гиги - Ниж. Маргатай (Маргатайский блок, $2,5 \text{ км}^2$). Кроме того, в бассейне р. Гиги (Майской) свита встречается в мелких тектонических книях и ксенолитах среди меловых интрузий. С более древними породами контакты свиты повсеместно тектонические. Наиболее представительные разрезы составлены в Нальдинском блоке. На южных склонах высоты с отм. 1327,0 м до коренным выходам установлен следующий разрез (снизу вверх):

1. Известники и доломиты скарнированные	250 м
2. Песчаники известковистые, скарнированные, в тонком чередовании с оротовикованными алевролитами	10 "
3. Известники мраморизованные белые, участками серые, с редкими линзами оротовикованных алевролитов	15-20 "
4. Песчаники кварцевые, часто косослоистые с линзами алевролитов и мраморизованных известняков (до 0,5 м)	
Пачка срезана разломом	70 "
5. Песчаники рассланцованные	2 "
6. Известники мраморизованные	1 "
7. Алевролиты и песчаники, оротовикованные в тонком ритмичном чередовании	5 "
8. Известники мраморизованные, серые	10 "
9. Песчаники и алевролиты с гиероглифами и следами ползания червей в тонком ритмичном чередовании	180-200 "
10. Известники мраморизованные, серые	6 "
II. Песчаники кварцевые с редкими проилами алевролитов	
12. Известники песчанистые темно-серые	14 "
13. Алевролиты и песчаники с гиероглифами и следами ряби в тонком ритмичном чередовании. Мощность ритмов 0,5-2 см	30 "
14. Известники сиреневатые рассланцованные	12 "

Выше залегают рассланцованные туфы дна базов. Мощность по разрезу 815-840 м. В правом нижнем притоке р. Маган в пачке серых известняков верхней части разреза обнаружены онколиты *Oscilla cf. irregularis Reitl.*

В Чалиринском блоке по коренным выходам установлено следующее строение свиты (снизу вверх):

I. Песчаники кварцевые с редкими пластами алевролитов и мраморизованных известняков

2. Песчаники косослоистые в переслаивании с алевролитами

3. Доломитовые известники и доломиты с маломощными

слоями алевролитов и песчаников

4. Песчаники с прослойями алевролитов и известняков

5. Песчаники и алевролиты в тонком ритмичном переслаивании

6. Песчаники кварцевые

Мощность по разрезу 740-760 м.

В Маргатайском блоке линей канал вскрыт:

1) песчаники кварцевые (100-200 м);

2) доломитовые известники и доломиты (300 м).

Корреляция разрезов позволяет выделять в составе нальдинской свиты четыре мощные пачки.

1. Кварцевые песчаники с прослойями алевролитов и известников

2. Доломитовые известники и доломиты с прослойями и линзами песчаников и алевролитов

3. Кварцевые песчаники с подчиненными слоями алевролитов и известников

4. Тонко переслаивающиеся песчаники и алевролиты с прослойями известников с онколитами

Видимая мощность свиты оценивается в 1050-1200 м.

Кварцевые песчаники - белые, светло-серые, зеленовато-серые породы, контактово-метаморфизованные разновидности представлены кварцитами. Текстура параллельная или косослоистая.

Мощность косослоистых серых I-7 см. Структуры: псамmitовая, алевролитовая, июнга роговиковая. Размер зерен 0,1-1,0 мм.

Они хорошо окатаны и состоят из 95-98% кварца и 2-5% птического иллюстрации. Цемент алевролитовый или карбонатный базальный

и поровый. По алевролитовому цементу в оротовикованных породах развиты биотит и серпентит. Аксессорные минералы: циркон, гранат, магнетит, апатит, турмалин, ортит, биотит.

Известковистые песчаники на 35-40% состоят из карбонатного

цемента, в который погружены слабо окатанные зерна преимущественно кварцевого состава.

Тонко переслаивающиеся песчаники и алевролиты - породы сего-

ров до нескольких метров. Границы между ними резкие, реже нечеткие, в отсутствие постепенного уменьшения зернистости обломков от подошвы к краю. Твердотільные представлены кальцитами, цилиндрическими извилистыми образованиями, вероятно, обусловленными деятельностию илодов. Песчаники по составу кварцевые, реже олигомиктовые до аркозовых, содержащих до 30–40% зерен кальевого полевого шпата и плагиоклаза. Зерна окатаны, средний размер их 0,7 мм. У подошвы слоев концентрируются магнетит, апатит, циркон. Цемент поровый, глинистый или карбонатный. Алевролиты имеют алевритеческую, псаммоалевритеческую структуры. Обломки представлены кварцем, реже полевым шпатом. Размер их 0,05–0,01 мм. Цемент глинистый, базальный, замещенный мелкочешуйчатым известком. Волнистые кровли ритмов алевролиты иногда сменяются аргиллитами.

Доломиты и известковые доломиты — светло-коричневые породы. Структура их криптозернистая либо микротрансвестовая. Они содержат 70–95% доломита и 3–25% кальцита (установлено методом окрашивания). В подчиненном количестве присутствуют вторичные серпентин, бусит и рудные минералы.

Доломитовые известники и известники имеют белую или серую окраску, неяснослоистую текстуру. Примесь доломита в них составляет от 5 до 20%. Реже встречаются чисто кальцитовые разности. Агрегаты доломита располагаются тонкими линзами и полосами либо встречаются в виде переотложенных зерен округлой формы. Песчанистые известники содержат до 15–20% угловатых зерен кварца, полевых шпатов и рудных минералов. С ними ассоциированы разновидности, состоящие на 60–80% из окаменелостей онколов. Сокращенный химический состав карбонатных пород приведен в табл. I.

Таблица I

# об- раза	Содержание окислов, %						Порода
	SiO ₂	Fe ₂ O ₃	CaO	MgO	CO ₂	Al ₂ O ₃	
I	2	3	4	5	6	7	8
K-128	4,88	1,66	36,42	14,6	41,04	—	Доломитовый из- вестник
K-135	4,67	0,76	48,9	3,86	42,57	—	Онколовый из- вестник
K-137	0,63	0,4	47,01	7,72	44,79	—	Доломитистый он- коловый из- вестник
4011a	2,67	0,25	52,67	2,4	42,52	—	Известник

T	2	3	4	5	6	7	8	9
4230T	1,96	0,29	34,04	25,07	Не опр.	0,06	9,36	Доломит серпентинизированный
K-825	5,76	0,29	30,6	21,46	—	0,04	0,48	Доломит

Верхняя возрастная граница наильдинской свиты определяется застыванием на ней верхнеэротерийских вулканогенных образований. По заключению А.Г.Поступова (КГЭ Зап.-Сибирского ГУ), остатки онколов в известняках плохой сохранности. Среди них установлены лишь *Osagia cf. irregularis* Reitl., известные в юдомском (Бендском) комплексе покемория.

Немериканская свита (разн.) развита в виде вулканических покровов площадью до 15–30 км² в юго-западной части территории. В бассейнах рек Тиги – Майской, Маган, Промадей и Чылырин она застывает на наильдинской свите, а севернее р. Тиги – на архейском фундаменте. Во всех пересечениях наблюдалось тектонические срывы ее контактов с более древними образованиями. Они выражены либо крутонахищими разломами, либо пологими маломощными зонами рассланцевания, согласными с подошвой свиты. Довсеместно немериканская свита расположена гипсометрически выше наильдинской, а перекрывает ее лишь породы джелонской свиты и четвертичные отложения. Состав свиты однороден. Количественно прослои туфов и кремнистых пород в ней крайне ограниченные. Они тяготеют к средней и нижней частям разреза и по простиранию не выдержаны. В правобережье р. Маган установлено следующее строение свиты (снизу вверх):

1. Минералогенные дебазы массивные • • • • • более 150 м
2. Диабазы слабо флюидальные с редкими линзами туфов и кремнистых пород (0,3–1 м) 150–200 "
3. Диабазы массивные, реже флюидальные и минералогенные, дебазовые порфириты • • • • • 300–350 "

Общая мощность примерно 600–700 м.

Диабазы – темно-зеленые, массивные породы. Они имеют диабазовую структуру и состоят (в %) из плагиоклаза – 45–55, актинолита – 30–35, хлорита – 15–20, эпидота – 0–10 и акессорных минералов: магнетита, ильменита, сфена и апатита. Плагиоклаз № 50–55 образует листы длиной до 0,5–1 мм. Актинолит развит по зернам широковена, а хлорит с эпидотом – по основной ткани.

Диабазовые порфириты отличаются от диабазов наличием лейстовидных фенокристаллов птицеклаза № 60-67, иногда ритмично-зональных. Размер последних 2-7 мм, а количество 15-20%. Миндалекаменные диабазы содержат округлые миндалини (0,3-5 см), выполненные кварцем, эпидотом, хлоритом, кальцитом, актинолитом, халцедоном. Химический состав диабаза (обр. 4390, правобережье р.Мая) следующий (в %): SiO_2 - 53,28; TiO_2 - 1,7; Al_2O_3 - 16,1; Fe_2O_3 - 1,68; FeO - 6,52; MnO - 0,17; MgO - 5,43; CaO - 8,56; Na_2O - 3,73; K_2O - 0,5; P_2O_5 - 0,21; CO_2 - 0,22; H_2O - 1,35; сумма - 99,45. Он занимает промежуточное положение между кварцевым сапальтом и диабазом по Р.Дэли.

Туфы темно-серые, неяснослойные породы. Структура псаммитовая, реже псевдогравитационная. Кластический материал составляет 40-65%. В обломках размером до 1-2 см преобладают диабазы и лейститидированное вулканическое стекло с лейстами птицеклаза. Встречаются также обломки кремнистых пород, алевролитов, птицеклаза, кварца. Основная масса пелитовая, она серилизирована и хлоритизирована. По трещинкам развиты кварц, эпидот.

Кремнистые породы имеют серую и коричневую окраску. Структура криптозернистая. Кремнистое вещество составляет до 90% породы. Оно изотропно либо раскроистализовано в халцедоновидный агрегат. В нем содержится примесь пелитоморфного материала. По трещинкам развиты эпидот и вторичный кварц.

Наиболее полные, стратотипические разрезы немериканской свиты установлены на территории смежного с востока листа /16/. Там в неё присутствуют шласти и линзы известняков с обильными остатками онколитов и катаграфий, характерных для среднего и верхнего рибеля и, отчасти, венда. Эти данные позволяют считать возраст свиты верхнепротерозойским.

Верхний отдел юрской и нижний отдел меловой систем.

Джелонская (J₃-K₁-d₁) распространена в юго-восточной части площасти, а также встречается в виде разобщенных фрагментов вдоль р.Мая, в среднем течении р.Кононий и в верховьях р.Салта-Лимчу. Ее слагают андезитовые порфириты, дайотовые порфиры, их туфы, туфогенно-осадочные породы, континентальные и песчаники. Свита залегает на породах докембрийского фундамента либо сохранилась в останцах кровли гранитоидов улуского комплекса. Разрез ее изменчив. На юго-востоке площасти в нем замечено место занимающее терригенные отложения. Здесь (между р.Промадей и Нальди, левобережье р.Чалиарин, истоки р.Карыялак) установлена базальная пачка континентальных, туфоконтинентальных

туфогравелитов с линзами грубозернистых песчаников. Она залегает на размытой поверхности нальдинской и немериканской свит и архейских гранитоидов. Мощность ее до 90 м. Талька в конгломератах неравномерно окапана и состоит из диабазов, гнейсовидных кварцевых порфиритов и гранитов протерозоя, габброидов и амасиков архея. Выше базальной пачки в правобережье р.Промадей залегают (снизу вверх):

1. Туфы андезитовых порфиритов агломератовые	50 м
2. Туфосланцевиты тонкослоистые	30 "
3. Ксенотуфы среднего состава псевдогравитационные	60 "
4. Андезитовые порфириты	20 "

В 3,5 км юго-западнее, в верховых р.Нальди, на конгломератах залегают следующие породы:

- | | |
|--|-------|
| 1. Песчаники полимитовые оротовиканные | 60 м |
| 2. Туфы андезитовых порфиритов | 160 " |
| 3. Андезитовые порфириты | 170 " |

На правобережье р.Чалиарин туфогравелиматы перекрыты потоком андезитовых порфиритов (80-100 м), выше которого залегает пачка туфов андезитовых порфиритов мощностью не менее 400 м.

В бассейне рек Ногали и Верх.Эльга среди подобных туфов встречаются линзы внутриформационных туфогравелиматов и туфогравелитов мощностью до 40-50 м. В правобережье р.Ногали в туфах найдены неопределенные (по заключению И.А.Шилкиной) обугленные остатки древесины хвойных. Верхи джелонской свиты на юге площасти сложены туфами дацитовых порфиритов (до 200-300 м).

К северу и северо-западу от р.Промадей терригенные образования в составе свиты практически исчезают. На горизонте рек Промадей и Дюны она разделяется на три пачки: 1) андезитовые порфириты - около 320 м, 2) туфы андезитовых порфиритов - около 200 м, 3) андезитовые порфириты - 180 м. В среднем течении р.Кононий в основании свиты залегает пачка туфов андезито-дацитового состава (150-200 м) с маломощной линзой гравелистых полимитовых песчаников. Встречается неравномерное чередование андезитовых порфиритов, дацитовых порфиритов и туфов (400 м).

Мощность джелонской свиты в юго-восточной части территории не менее 900 м, в северной - не более 600 м. По локальным экстремумам напряженности магнитного поля над выходами джелонской свиты можно допустить наличие магнитодвигущих каналов в нижних р.Чаборкан-Макит; по р.Мая, ниже устья р.Бондан, и в правобережье нижнего течения р.Промадей.

Анdezитовые порфириты — темно-серые, массивные, реже фиолетовые породы. Структура порфировая. Фенокристаллы (2–15 мм) составляют 15–30% объема породы. Они представлены (в %) зональным андезитом — 60–80, роговой обманкой — 20–35, биотитом — 0–5, иногда киммерицитом. Структура основной ткани гиалопилитовая, пилотактиловая. Вулканическое стекло девитрифицировано, хлоритизировано. На его фоне развиты лейстовидные микролиты плагиоклаза, верна роговой обманки, эпидот, биотит, иногда карбонат, магнетит, апатит, лейкоксен, гематит, пирит. Химический состав анdezитового порфирита (обр. II68-2, р. Кононный) следующий (в %): SiO_2 — 62,68; TiO_2 — 0,66; Al_2O_3 — 17,60; Fe_2O_3 — 2,51; FeO — 2,24%; MnO — 0,09; MgO — 2,33; CaO — 4,69; Na_2O — 4,88; K_2O — 1,65; P_2O_5 — 0,24; CO_2 — 0,12; H_2O — 0,87; сумма — 100,57. Порода близка к слюдяному андезиту, по Р.Дали, отличаясь от него несколько повышенным содержанием щелочей и недостаточностью глиноzemом.

Дацитовые порфириты относятся к андезитоидному типу. Это серые, сиреневые, порфировые породы. Фенокристаллы (15–20%) представлены олигоклаз-андезином № 25–32 (75–85%), кварцем (10–20%), хлоритизированным биотитом и роговой обманкой (до 5%). Структура основной ткани гиалопилитовая. Стекловатный либо криптозернистый базис наполнен микролитами плагиоклаза и почти не содержит первичных темноцветных минералов. Вторичные минералы — хлорит, серрилит, эпидот — развиты по стеклу и, отчасти, фенокристаллам.

Туфы анdezитовых порфиритов — темно-серые, зеленовато-серые породы. Текстура стёпстая, реже массивная. Встречены агломеративные, псевдогипсовые, псамитовые и алевритовые туфы. Обломочный материал (70–80%) представлен анdezитовыми порфиритами, диабазами, дацитовыми порфиритами, гранитоидами и кристаллолитами роговой обманки, плагиоклаза, кварца. Цемент цементовый базальний и поровый. По нему развит хлорит, эпидот, пирит, иногда проявлены окварцевывание, аглутинизация.

Туфы дацитовых порфиритов имеют светло-серую, серую, лиловатую окраску. В них преобладают обломки дацитовых порфиритов, кристаллолиты плагиоклаза и кварца. Нередко отмечается слабое спекание, обусловливавшее псевдогипсальную структуру. Ксеногены спержат примерно равное количество обломков анdezитовых порфиритов и дацитовых порфиритов, наряду с многочисленными чужеродными обломками.

Туфроконгломераты и туфогравелиты на 50–70% состоят из галек либо гравия анdezитовых порфиритов и их туфов, диабазов, кварца, гранитов, сплесситированных пепловых массой с кристаллическим обособлением кремнистого вещества. Туфолесчанники состоят из неравномерно окатанных обломков анdezитовых порфиритов, кварца, плагиоклаза, магнетита полеречником до 2–3 мм. Цемент базальний пепловый с примесью кремнистого вещества. Конгломераты на 60–80% состоят из галек, реже валунов (до 0,4 м) ложембринских пород. Цемент в них орогликован и представлен тонкозернистым биомит-кварц-полевошпатовым агрегатом с мозаичной структурой. Песчаники — заленовато-серые породы, состоящие из неравномерно окатанныхзерен кварца, плагиоклаза, кальцита, полевого шапата, гранитов, анdezитов, туфов, эпидота, кальцита. Размер их 0,2–2 мм, отсортированность плохая. Цемент (10–15%) поровый кременистого-глинистый с примесью пелла.

В бассейне р.Ула Джелонская свита перекрыта отложениями некома /29/. Ее возраст определен по находкам в районе пос.Улского Л.И.Красным и Ю.И.Щербино /4,32/ исключаемой флюори, характерной как для Верхней ери, так и для некома. В результате повторных сборов фторы Е.Б.Бельтевес и Е.Л.Лебедев пришли к выводу о ерском возрасте свиты /1/. Эту точку зрения подтверждают данные В.Н.Гончарова /16/, который в нижней части разреза Джелонской свиты обнаружил отпечатки растений, типичных для Верхней, средней и нижней ери. Радиологический возраст анdezитового порфирита (обр. II66, р.Чеборкан-Макит) составляет 91 млн. лет (калий-аргоновый метод, по валовому составу, K — 2,98%, Ar — 18,1 мг/г, $\frac{\Delta t_{40}}{K^{40}}$ — 0,0051).

Ввиду искусственности вопроса о возрасте джелонской свиты, она относится, как и на смежных территориях /3, II, 29, 32/, к верхней ере — нижнему мелу.

МЕЛОВАЯ СИСТЕМА

Нижний отдел

Материковая связь (К₁^{тп}) закартирована в пребореье р.Чеборкан-Макит в виде останца вулканического покрова (7 км²), подстилаемого породами джелонской свиты. В основании разреза застает пачка вишневых лагуристаллолитических линит-бритов мощностью до 10 м. Выше чередуются лагуристовые порфириты слабо спекшиеся туфы липарито-дацитового состава (70–80 м). Они

перекрыты пачкой итникоритов и туфов липарито-дацитового состава с редкими потоками липаритовых порфиров. Разрез выходит дацитовые порфирры, перемежающиеся с туфами. Мощность покрова около 300 м.

Липаритовые порфирры — розоватые породы массивной или несфероморфальной текстуры. Структура порфировая. Фенокристаллы (10–15%) представлены олигоклазом, реже кварцем и хлоритизированным биотитом. Основная ткань обладает сферолитовой и гранофирмовой структурами. На фоне девитрифицированного стекла развита сферолиты (0,2–0,3 мм) щелочного полевого шпата в тонких сростках с кварцем (до 40%), микролиты олигоклаза и мелкие обособления кварца. Сферолиты местами переходят в тонкозернистый гранофирровый агрегат. Аксессории — тундрийский минерал, монацит, анатит. Химический состав образца 233-а следующий (%): SiO₂ — 74,16; TiO₂ — 0,21; Al₂O₃ — 14,25; Fe₂O₃ — 1,15; CaO — 0,30; MnO — 0,05; MgO — 0,39; Na₂O — 5,02; K₂O — 4,10; SO₃ — 0,04; P₂O₅ — 0,05; H₂O — 0,18; сумма — 100,49. Порода близка к риолитам по Р.Дели, отличаясь несколько более лейкократовым составом и преобладанием натрия над калием.

Дацитовые порфирры — светло-, зеленовато-серые породы порфировой структуры. Фенокристаллы (5–7%) представлены олигоклазом № 23–25 и биотитом. Основная ткань сложена микролитами олигоклаза (50–60%) и редкими сферолитами калиевого полевого шпата, погруженными в девитрифицированный стекловатый базис с выделениями кварца, хлорита, эпилита. Аксессорные минералы представлены магнетитом, цирконом и монацитом.

Туфы липаритовых и дацитовых порфиров — светло-серые породы с нечеткой псевдообъемной текстурой. Структура псаммо пседогравая. Обломочный материал (50–55%) состоит из липаритов, дацитовых порфиров, реже андезитовых порфиритов; плагиоклаза, кварца, биотита, эпилита и рудного минерала. Основная ткань — пепловая с алевритовой структурой.

Итникориты — светло-серые, лиловые, неяснослоистые породы. Состав обломочного материала тот же, что и в туфах. Структура итникоритовая. Формы состоят из стекловатой массы с обломками кварца и щелочного полевого шпата. Они имеют рогульчатую, серповидную форму, отсыпают крупные обломки, местами переходят в тонкозернистый туровый базис. Породы неравномерно хлоритизированы и серидитизированы.

Рассмотренные образования сопоставляются с мажетской свитой, вымыту сходства петрографического состава и более высокого стратиграфического положения относительно Джелонской свиты. К северо-

востоку от рассматриваемой территории /3, 10/ установлено, что мажетская свита перекрывает гранитоиды ульского комплекса и прорвана меловыми гранитами с возрастом 89–114 млн. лет. В верховых р. Кононный /27/ наблюдалось залегание подобных эфмузиков на размойной поверхности раннемеловых гранитоидов Чалбук-Янсонского массива. В пользу правомерности производства спонтанного свидетельствует то, что кислые эфмузы, в отличие от подстилающих пород джелонской свиты, не ороговикованы вблизи массива гранитоидов ульского комплекса.

ЧЕТВЕРТИЧНАЯ СИСТЕМА

СРЕДНЕЧЕТВЕРТИЧНЫЕ ОТЛОЖЕНИЯ

Нижняя часть этих отложений (Q_{II}^1) встречена на ГУ надпойменной террасе р.Май высотой 70 м. Они представлены песком, галькой и валунами с примесью суглинков. Мощность отложений не превышает 2 м, в масштабе карты они не выражаются. В них обнаружена пыльца луба, ильма, ореха и некоторых видов берес, либо не расступих на дальнем Востоке, либо распространенных ижее дальше данного района (*Betula* sp., *Betula albo-sinensis* Bork.). Эта пыльца характерна, по заключению Л.Л.Казачиной, "...для ранне-среднечетвертичных отложений".

Показанные на карте среднечетвертичные отложения (Q_{II}^2) имеют речное, ледниковое и водно-ледниковое происхождение. Алевитальные отложения, представленные разноверистыми, полимиктовыми песками с галькой и галечниками, сохранились в III надпойменной террасе р.Май высотой 50 м. Мощность их 7–10 м. Они содержат пыльцу холоднолюбивых растений, в частности, березы *Betula dahurica* Pall., типичную, по мнению Л.Л.Казачиной, для периода походления среднего плейстоцена. Ледниковые отложения развиты в верховьях долин в районе Майдского хребта. Они образуют морены протяженностью до 7 км и выполняют днища реликтовых каров. Мощность отложений достигает 30–50 м. В верховых долин они представлены сладко окатанными валунами и глыбами (до 2 м) с песчано-песчано-суглинковым наполнителем. Вниз по долинам в них увеличивается количество песчано-глинистого материала (до 20–30%), появляется примесь гальки, и они переходят в водно-ледниковые отложения. В бассейне р.Промадей среднечетвертичные ледниковые отложения рас-

положены в тыловом щите верхнечетвертичной террасы, а на Майском хребте — перекрыты конечной мореной позднечетвертичной эпохи горного оледенения. Они отнесены к периоду походания среднего плейстоцена по аналогии с отложениями хр.Джигджур /Г./.

В е р х н е ч е т в е р т и ч н ы е о т л о ж е н и я

Нижняя часть отложений (Q_{III}^1), представленная песками, галечниками, суглинками и супесями, сохранилась во II надпойменной террасе высотой 15–25 м. Состав отложений изменился. Так, в среднем течении рек Кононный, Лимку и Прав.Лиги преобладают плохо отсортированные галечники с примесью песка и валунов. По р.Марганикуют пески и хорошо отсортированные галечники. Мощность отложений колеблется от 3 до 18 м. Обнаруженный комплекс пыльцы темнолиственных растений (луб, орешник, лещина, граб) позволили Л.Л.Ка-зачинской и И.Б.Мамонтовой отнести их к периоду климатического отступления позднечетвертичной эпохи.

Верхняя часть отложений (Q_{III}^2) имеет аллювиальное и ледниково-террасу высотой 5–12 м. По составу они схожи с отложениями II террасы. Ширина их выходов в долине р.Марганикует 1,5 км. Мощность колеблется от 4,4 до 12 м. Аллювиально-пильцевой комплекс отражает растительность хвойного, бересково-хвойного леса с широким развитием можжевельника, папоротников при отсутствии широколиственных растений. По заключению Л.И.Лужковой и И.Б.Мамонтовой, он характерен для периода походания позднего плейстоцена. С этим периодом связывается проявление позднего горного оледенения. Ледниковые отложения устилают днища каров и узкие троги верховьев долин на северных склонах Майского хребта и высоких водоразделов бассейна р.Лемчу. Протяженность морен 3–4 км. Мощность отложений достигает 50–70 м. Они представлены глыбами и сладко окатанными валунами (размером до 5 м) с примесью щебня и грубозернистого песка.

С о в р е м е н н ы е о т л о ж е н и я (Q_{IV})

Рассматриваемые отложения выполняют ложе речных долин, обра- зуя высокую (2–4 м) и низкую почву. Верхнюю часть разреза высо- кой почвы обычно слагают пески, супеси (до 0,5 м), а нижнюю —

галечники с валунами и песком (до 4,5 км). Отложения низкой поймы представлены руслонным аллювием, состоящим из галечников, гравия и песка. Мощность их в долинах рек Мар, Чеборкан, Лимку и Кононный достигает 7 м.

Водоразделы и склоны гор покрыты чехлом ледниковых и эоловальных отложений мощностью от 0,5 до 6 м. В подложках гор деловидно сменяется щебенчато-глинистым колловием, напоминает размытым в тыловых шах высоких террас. В полновьях высоких водоразделов встречаются также проливные отложения, образующие конусы выноса шириной 200–500 м и мощностью до 20 м. Они сложены глыбами, лебедем, дресвой.

ИНТРУЗИВНЫЕ ОБРАЗОВАНИЯ

Около 65% территории занимают интрузии. Они делятся на архейские, раннепротерозойские, позднепротерозойские, позднепалеозойские (?), позднекарбонско-раннемеловые, раннемеловые и позднемеловые.

АРХЕЙСКИЕ ИНТРУЗИИ

В возрастной последовательности выделяются: 1) амфиболитизированные габбро, 2) анортозиты, габбро-анортозиты, 3) биотитовые, амфибол-биотитовые граниты, гранодиориты, 4) альбититовые граниты. Интрузивные образования архея, как и имеющиеся горы, подверглись региональному палленному метаморфизму амфиболитовой фации и неравномерному рассланцеванию.

А м ф и б о л и з и р о в а н и е г а б б р о (в AR) пространственно связаны с анортозитами. Наиболее крупные тела габбро (до 60 км²) тянутся к краевым частям Кун-Маньенского (верхнее течение рек Кононный и Кустак) и Сехтагского (нижнее течение рек Лимку, Бакитчик, Мал.Бартак) массивов. Часть мелких тел (до 0,5 км²) расположена обособленно среди метаморфических пород архея. Контакты габбро согласные с полосчатостью гнейсов. Тесно с ними контактируют амфиболиты и альбититы. Габбро присуща массивная либо гнейсовидная текстура. Нередко отмечаются переходы от мелковернистых разновидностей к среднезернистым и пегматитовым. Участками встречаются также полосы и ши-

ри (до 1 м) крупнозернистых амфиболовых, пироксенамфиболовых пород. Распределение минералов в габбро часто полосчатое. Углы падения полосчатости $10\text{--}40^\circ$, изредка до 80° . В северной части Сехтагского массива полосчатость погружена к югу, а в периферии Кун-Маньенского массива — к северу.

В низовых рек Лиму, Бакитчылак и в среднем течении р.Бол. Бартак на габбро наложена гранитизация, связанная со становлением ранней фазы архейских гранитоморф (γ_1 AR). Гранитизация выражена развитием пегматитов агрегатов и порфиробластов микроклина и кварца, вплоть до преобразования пород на небольших участках в неравномернозернистые гранитоморфы и граниты.

Наиболее метаморфизованное габбро имеет габброную структуру с элементами калифорнита и состоит (в %) из плагиоклаза — 40–60, клинопироксена — 15–20, бурой роговой обманки — до 10, вторичных амфиболов — 10–20, биотита — 0–3, хлорита, серицита, цоизита — до 1–2, акессорных титаномагнетита с каймой лейкоксена — 3–5, апатита, редко циркона. В некоторых разновидностях пород содержание титаномагнетита повышено до 15–20%. В интенсивно амфибомагнированных габбро темноцветные минералы (35–40%) представлены вторичными амфиболами, содержащими реликты пироксена и бурой роговой обманки. Зерна плагиоклаза в слабо измененных породах идиоморфны и представлены лабрадором № 60–76. Но чаще они сероизогнизываются, сопровождаясь амфиболами, оделяют постепенной (метаморфическая) зональностью. Состав их изменяется от № 42 до № 58. Пироксен (бледно-зеленый диопсид-вариант, $2V = +52$, $c:N_E = 44\text{--}48^\circ$) сохраняется среди псевдоморф волокнистого актинолита и сине-зелено-желтой роговой обманки. Периклическая роговая обманка образует кено-морфные зерна и плеохроирует в буро-коричневых тонах ($c:N_E = 13^\circ$, $2V = -70^\circ$). Ее замещает сине-зеленая роговая обманка ($c:N_E = 18^\circ$, $2V = -66^\circ$). По химическому составу габбро (обр. З103, басс. Р.Бакитчылак, габл.2) занимает промежуточное положение между габбро и эссецитовым габбро по Р.Дэли. Высокое значение t (3, 4) отражает титановую геохимическую специализацию данных пород. В повышенных концентрациях в габбро присутствуют (в %) ванадий — 0,005–0,03, кобальт — 0,003, титан — 0,3–1.

Границы габбро содержат до 15% кварца и 5–15% микророглина. Эти минералы коррелируют зерна плагиоклаза, при этом основность последнего понижена до олигоклаз-андезина № 24–35. Вокруг зерен титаномагнетита пятнами развит вторичный бурый биогрит.

Габбро является дреинетом из архейских интрузий, поскольку они прорывается либо замещаются габбро-анортозитами (δ AR),

платинистыми гранитами ($\gamma_1\text{--}\gamma_3$ AR) и аляскитовыми гранитами (γ_2 AR). А н о р т о з и т , г а б б р о — а н о р т о з и т (δ AR) преобладают в рассматриваемых частях Сехтагского и Кун-Маньенского массивов. Кроме того, они образуют обособленные тела (до 4–5 км²) в нижнем течении р.Чеборкан и в южнее Иловьеве Чеборкан и Голосостак.

Контакт габбро-анортозитов Сехтагского массива с кристаллическими сланцами архея наблюдался по р.Мае, выше устья р.Бартак. Гнейсовидность габбро-анортозитов, кристаллических сланцев и плоскость контакта погружены к северу под углом 35° . В зоне контакта сланцы инициированы резко очерченными лентовидными и ветвистыми жилами габбро-анортозитов. Как кристаллические сланцы, так и габбро-анортозиты пронизаны жилами гнейсовидных аляскитовых гранитов (γ_2 AR).

Взаимоотношения анортозитов с архейскими габбро двоякие. В Кун-Маньенском массиве (р.Кустак) от подножья склона к водоразделу на расстоянии около 500 м наблюдались постепенные переходы альтерированных габбро (15–20% порфиробластов плагиоклаза) в неравномернозернистые анортозиты (до 80% порфиробластов). В тех и других породах установлена единая ориентировка полосчатости (азимут падения 295° , $\angle 30^\circ$). В Сехтагском массиве отмечались резкие контакты анортозитов с габбро, но поверхности этих контактов зубчатые, вследствие развития в габбро порфиробластов плагиоклаза. А.Ф.Баскаковым /Г3/ в западной части Сехтагского массива описаны резкие интрузивные контакты анортозитов с габбро. Эти данные позволяют считать анортозиты более поздними образованием, чем габбро. Однако наблюдения по р.Кустак свидетельствуют по возможному возникновению тех и других пород в процессе лифтинга единого расплава при участии автометасоматоза.

В Сехтагском массиве полосчатость анортозитов и габбро-анортозитов падает преимущественно в северных руслах под углами $60\text{--}80^\circ$, выплывающая в северной части массива до $25\text{--}30^\circ$. По этим данным можно предположить, что массив имеет форму, близкую к плоскогранной, и погружен к северу. В нем установлено грубое чередование крупных (0,8–4 км) полос габбро-анортозитов и анортозитов, простирающихся согласно с тонкой полосчатостью. К полосам габбро-анортозитов тяготят участки анортозитизированных габбро, но встречаются и анортозиты. Содержание темноцветных минералов в породах здесь крайне изменчиво. Они располагаются пятнами, прерывистыми полосами, цепочками. Среди анортозитов преобладают пятнистые разности, темноцветные минералы в которых сохраняются

нитам (12 АР). Радиологический возраст аортозитов Джульджурского массива, расположенного северо-восточнее, в склонной геологической остановке, по данным А.И.Гуарнова и Т.В.Войтекевич /9/ 2300 млн. лет (свилочный метод, по апатиту). Однако эти исследования отмечают недостаточную точность определения возраста, ввиду низких содержаний урана в апатите.

Б и о т и т и е, а м ф и б о л - б и о т и т о в и е

Г р а н и т и, г р а н и о д и о т и (1-16 АР) слагают фрагменты Маргайского массива, занимавшего правобережье р.Май, между речье Гига - Каражак, и бассейны верхнего течения рек Чалдарин, Сонбазек и Бол.Бартак. Южная граница массива замаскирована более молодыми интрузиями. Малые тела (2-4 км²) подобных гранитов установлены в междуречье нижнего течения Бактылак и Топчак и в нижнем течении р.Чебиркан среди пород иктиандинской смыты.

В Маргайском массиве гнейсонидность гранитоидов падает преимущественно к север-северо-западу под углами 35-70°, вероятно, отражая соответствующее погружение кровли под Сехтаский массив. Строение массива зональное. В его апикальных частях, примыкающих к выходам габброритов, наблюдались постепенные переходы гранитизированных габбро-анортозитов и анортозитов в гранодиориты и граниты. Полоса гранитизированных габброритов в зоне контактаости имеет ширину 2-3 км. Граница между ними и гранитоидами проходила условно по появлению в породах 15-20% кварца и такого же количества микроклина. Гранитоиды зоны контакта характеризуются грубоплитистой гнейсовидной, реже массивной текстурой, крайне неравномерным распределением темноцветных и салических минералов. Они окаймляют гранитизированные габброриты полосами шириной 2-3 км и соответствуют по составу гранитам и гранодиоритам с ярко выраженным чертами метасоматического прохождения. При удалении в глубь массива породы приобретают более голоценный облик, равномернолистистую гнейсовидную текстуру и неравномернозернистую структуру. Ширина темноцветных минералов (2-5 мм) в них расположена на фоне мелковзернистой розовой кварц-полевошпатовой массы. Эти породы, сближенные по составу к мезократовым гранитам, реже к гранодиоритам, занимают около 70% площади массива. В наиболее глубоких его сечениях (верховья р.Гига) пятнистые породы перекладывают в равномернозернистые розовые граниты с гнейсовидной текстурой. В переходных зонах пятнистые разновидности сохраняются в виде теневых участков. Нередко они содержат резко очерченные ксенолиты архейских габбро и кристаллических сланцев.

Тела в низовых рек Бактылак и Чебиркан сложены пятистыми гнейсовидными гранитами, имеющими резкие субботочные контакты с кристаллическими сланцами архея и интезированными гнейсовидными архейскими аллюритовыми гранитами.

Граниты содержат (в %): кварц - 20-30, микроклин - 30-55, плагиоклаз - 25-30, биотит - 1-10, роговую обманку - 0-10. Гранодиориты состоят (в %) из кварца - 15-20, плагиоклаза - 40-50, микроклина - 15-25, темнодревесных минералов 10-20, роговой обманки, биотита, иногда реликтов моноклинного пироксена. В незначительных количествах в породах присутствуют эпидот, серцит, доломит и акессорные: апатит, магнетит, сфен, циркон, монацит, ортит, редко гранат.

Гранитоиды апикальных частей массива имеют коррозионную структуру. Они состоят из реликтовых минералов габбро и габброритов и метасоматических новообразований микроклина, кварца, альбита и красно-бурового биотита, развитых в виде прихотливых по форме агрегатов. Томогенные пятнистые граниты обладают петрогранобластовой структурой и состоят из реликтов гранитизированного субстрата, заключенных в равномернозернистой биотит-кварц-олигоклаз-микроклиновой массе. Равномернозернистые граниты имеют гранобластовую структуру и представляют собой в чистом виде новую ткань предыдущей разновидности гранитов.

Реликтовыми темноцветными минералами гранитоидов являются красно-бурый биотит, коричневая роговая обманка и клинопирексен. Наряду с ними, во всех разновидностях присутствуют вторичные метаморфические минералы - сине-зеленая роговая обманка, зеленовато-коричневый биотит и эпидот. Они не только замещают первичные темноцветные минералы, но и рассекают зерна микроклина, отражая наиболее поздний обласет.

Из приведенных данных следует, что гранитоиды апикальных частей массива возникли путем метасоматического замещения габброритов. Мелкоплитистые разновидности образовались при участии жидкой и твердой фаз (равномернозернистая ткань и аллюиты гранитизированного субстрата). Учитывая наличие резких контактов с кристаллическими сланцами, эти гранитоиды следуют отнести к реоморфическим. Равномернозернистые граниты кристаллизовались из жидкой фазы и, скорее всего, имеют метасоматически-палингическое происхождение.

Химическому анализу подвергнуты обр.5392 (руч.Ниж.Маргай) - метасоматический гранит и обр.5386 (водораздел ручьев Верх. и Ниж.Маргай) - мелкозернистый гранит из средней части массива.

Оба образца близки к щелочноzemельному граниту по Р.Дэли при не- сколько повышенном содержании темноцветных. Гранит краевой части массива относится к нормальному ряду, а гранит из центральной части пересыпан глином. Характерными элементами-примесями в породах являются титан (0,1-0,2%), иттрий (0,002%) и иттерий (0,002%).

Возрастное положение данных гранитоидов обосновывается тем, что они прорваны архейскими альскитовыми гранитами и, как все города архейского фундамента, претерпели наложенный метаморфизм амфиболитовой фации.

Альскитовые граниты (1_2 АГ) чаще всего представлены мелкими согласными килами, линзами метатектического материала в архейских магматитах. Относительно крупные тела (мощность до 500 м и площадью до 1-1,5 км²) закартированы в районе Бакитыляк и Чеборкан. Они залегают согласно с полосчатостью метаморфических пород. Среди гнейсов, особенно в ульческой свите, тела имеют расщепляющие грани, содержат складки гранитизированного субстрата и переходят в теневые мигматиты. Со сланцами основного состава контакты резкие. В эндоконтактах отмечались альматиты. Альматиты также инъецируют краевые части более древних габброродов и гранитоидов. Создается впечатление, что они в основном возникали на месте в процессе гранитизации и перешивания пород и частично магматировали путем межпластовых инъекций в породы повышенной основности. С альскитовыми гранитами генетически связаны пегматиты (Р.АГ), которые наиболее распространены среди метаморфических пород архея в бассейне р.Кустак. Жили залегают согласно с полосчатостью имеющихся пород, либо секут ее под небольшим углом. Мощность их достигает 2 м. Иногда пегматиты образуют оторочки и шлиры в альскитовых гранитах.

Альскитовые граниты имеют разную и светло-серую окраску, причем кварцу присущ сиреневый оттенок. Текстура гнейсовидная, за счет плоско-параллельной ориентировки обособленных квадра. Структура гранобластовая, гетерогранобластовая. Породы содержат (в %) кварц - 25-35, микроклин-перит - 45-60, плагиоклас № 19-22 - 5-20. До 5% их объема занимает бурый биотит, вторичные зеленый биомит, хлорит, мусковит и акцессорные апатит, циркон, монацит, ортит, гранат, магнетит. Кварц обычно собран в уплощенные агрегаты полосчатником до 3-5 мм, состоящие из давленых зерен. Микроклины содержат жилковатые и перистые перититовые вrostки (до 20% альбита).

По химическому составу (обр. 4348, р.Мая) альскитовые граниты близки к альбитам по Р.Дэли. Они несколько богаче их щелоч-

ными, беднее кварцем и менее пересыщены глином. Характерными элементами-примесями являются (в %): лантан - 0,03, церий - 0,05, иттрий - 0,001.

Пегматиты - светло-серые, розоватые породы с пегматоидной структурой, состоящие из зерен кварца, микроклина и олигоклаза размером до 1-1,5 см. В них гнездами располагаются бурый биотит, монацит, фергасонит, циркон, реже чеконит.

Возраст альскитовых гранитов обосновывается тем, что они распространены только среди архейских образований и вместе с метаморфическими породами подверглись складчатости. Подобные альматиты широко развиты на сменной территории Алданского щита и связывают-ся там с главным этапом архейского ультраметаморфизма /8/. Как все архейские образования района, альскитовые граниты подверглись перекристаллизации в условиях амфиболитовой фации метаморфизма.

РАННЕПРОЗОЙСКИЕ ИНТРУЗИИ

Раннепротерозойские интрузии развиты преимущественно в пределах Майско-Удокого грабена среди нижнепротерозойских метаморфических пород, реже встречаются в зонах разломов среди архейских образований. Они подразделяются на три фазы: 1) кварцевые диориты, 2) гранодиориты, 3) граниты, птиатограниты.

Кварцевые диориты (1_0 РР₁) образуют тела в междуречье Бакитыляк и Чеборкан (Бакитылякский массив, 60 км²), в среднем течении р.Чеборкан (3 км²) и между верховьями рек Бакитыляк и Какэнай (2 км²). Гнейсовидность в них погружается преимущественно к северу, северо-востоку под углами 15-60°, сообразно с общим направлением падения гнейсов. По р.Чеборкан наблюдалась согласная с полосчатостью пород сыванской свиты контакт пологий Бакитылякского массива, падающий к северу под углом 45-50°. Нижнюю часть массива слагают среднезернистые роговообманково-биотитовые кварцевые диориты, рассеченные множеством жил гранодиоритов (1_0 РР₁) и птиатогранитов (1_2 РР₁), а верхнюю - более крупно-зернистые существенно роговообманковые разновидности. Цвет кварцевых диоритов серый. В них визуально заметны зерна эпидота и сферена. Роговая обманка иногда образует порфиробласти пологими до 1 см.

Условно к этому же возрасту отнесены тела (до 1,5 км²) гнейсовых кварцевых диоритов в верховых р.Бол.Оманджи. Они закартированы по делюлю среди более молодых гранитоидов и нижнепроте-

ройских гнейсов. По облику и петрографическому составу они отличаются от слизких кварцевых диоритов Майско-Удского грабена, отсутствием эпилита.

Кварцевые диориты обладают гранобластовой и пластошилломорфнозернистой структурами. Они состоят (в %) из кварца - 10-15, плагиоклаза - 60-70, микроклина № 35-37 - 2-7, роговой обманки - 2-25, биотита - 2-10, эпилита 2-7 и акцессорных - сфена, апатита, редко орнита, монацита. Роговая обманка шлохорикует в зеленых, а биотит - в зеленовато-коричневых тонах. Эпилит образует идиоморфные зерна. Микроклин развит в интерстициях плагиолиза, иногда в виде антиперитовых вростков. Кварцевый диорит (обр. 2017-1, р. Чеборкан) по химическому составу слизок к диориту (включая кварцевые диориты) по Р.Дэли, отличаясь несколько повышенным содержанием цезия, меньшим содержанием темноцветных и более резким преобладанием натрия над калием.

Кварцевые диориты прорваны гранодиоритами, гранитами и пегматитами раннего протерозоя.

В.Н.Мошник /8/ подобные породы относили к тококо-алтаманскому комплексу раннего протерозоя.

Гранодиориты (18 PR₁). В Бактыльском массиве гнейсовые гранодиориты встречаются в виде пластовых тел мощностью до нескольких десятков метров. Контакты их с кварцевыми диоритами резкие. Ориентировка гнейсовыхности в тех и других породах субпараллельная. Они прорваны многочисленными жилами мусковитовых пегматитов и гнейсовых плагиогранитов (12 PR₁). В пребережье нижнего течения р.Бактыльяк тело гнейсовых гранодиоритов (4 км²) пртурочено к зоне разлома, разделяющего блоки архей и нижнего протерозоя. В его краевых частях породы превращены в областомylonиты, а в центральной - породы гнейсовых гранодиоритов Бактыльского массива. Гнейсовые гранодиориты, слагающие тело в зоне того же разлома в левобережье р.Мая, ниже устья р.Борготон, своеобразны. Большая часть их развалычована. В свежих разновидностях на фоне среднезернистой ткани развиты субпараллельно ориентированные кристаллы биотита параллельно 2 см и более мелкие зерна роговой обманки и эпилита. Эти породы отнесены к раннему протерозою условно.

Гранодиориты имеют серый цвет, иногда с зеленоватым оттенком за счет эпилита. Структура лепидогранобластовая. Породообразующие минералы (в %): кварц - 15-20, плагиоклаз № 27-32 - 50-60, микроклин - 5-15, биотит - 12-15, эпилит - 3-7, роговая обманка - 0-3, акцессорные: сфен, магнетит, апатит, циркон, вторичные: хлорит

(до 5%), иногда мусковит. По химическому составу гнейсовые гранодиориты (обр. 2335^a, р.Бактыльяк) слизок к гранодиориту по Р.Дэли. В нем несколько повышен количества цезия при резком преобладании натрия над калием и понижено содержание темноцветных.

Возраст гранодиоритов определяется тем, что они прорывают кварцевые диориты раннего протерозоя и, в свою очередь, прорываются гранодиоритами (12 PR₁). Гранодиориты образуют единий комплекс с кварцевыми диоритами и широко распространены в зоне Становико-Джугджаура. В качестве самостоятельной интрузивной фазы они впервые выделены западнее данного района Л.А.Карсаковым /20/.

Граниты, плагиограниты (12 PR₁). Биотитовые и двуслюдянные гнейсовые граниты и плагиограниты - наиболее распространенные из раннепротерозойских интрузивных пород.

Относительно крупные (1-36 км²) тела их тяготеют к периферии Майско-Удского грабена и к контакту между сибирской и куманской свитами. Они вытянуты в широтном направлении, сообразно с простираем раннепротерозойских структур. Гнейсовые граниты и плагиограниты, как и гнейсы, погружаются преимущественно к северу, северо-востоку под углами 20-50°, иногда 60-80°. Контакты тел чаще всего резкие согласные, форма тел пластовая. Реже контакты косо секут полосчатость гнейсов и не гармонируют с конфигурацией малых складок. В лире куплоной антиклинали, среди пород сибирской свиты, отмечались постепенные переходы между гнейсовидными гранитами и гнейсами через зоны интенсивной мигматизации.

Изменение характера взаимоотношений гранитоидов с вмещающими породами, по-видимому, связано с метаморфической зональностью. В основании нижнепротерозойского разреза, где степень метаморфизма повышена, гранитоиды обнаруживают признаками ультраметатенного происхождения, в то время как в более высоких сечениях доминируют тела перемещенных гранитоидов.

В массиве нижнего течения р.Кустак (36 км²) плагиограниты интенсивно рассланцованны и подверглись наложенной альбигиации и микроклинизации. Наиболее изменения их разности имеют эпилит-мусковит-караф-микроклин-альбитовый состав. Условно к раннему протерозою отнесены биотитовые гнейсовые граниты, образывающие тело в верховых р.Совбэк и прав.Лиги. Они послойно перекрывают гнейсы сибирской (?) свиты и склонны с типичными раннепротерозойскими гранитами, отличающимися от них лишь отсутствием эпилита, мусковита и повышенным содержанием микроклина.

Граниты и плагиограниты - среднезернистые гнейсовые породы светло-серого, белого, реже розового цвета. Структура гран-

блестован. Типичные разновидности содержат (в \%): кварца - 25-35, пластика - 30-60, магноклина - 2-25, олигита - 1-5, мусковита - 0-5, эпидота 1-5 и акцессорные: сфен, магнетит, апатит, реже гранат, циркон, ортит. В метасоматически измененных рассланчованных гранитах содержатся до 40% альбита, среди которого содержат 25-35% микроклина.

Состав пластика в пластигранитах № 22-28, а гранитах № 18-26, зерна свежие, незональные. Пергитовый микроклин не характерен. Биотит плеохроирует в зеленовато-коричневых тонах. Чешуя мусковита и зерна эпидота идиоморфны.

Пегматиты распространены среди пород Куминской, Лавинской снит и квадровых диоритов раннего протерозоя. Максимальная концентрация жил установлена в широтной полосе, между средним течением рек Чеборкан и Лимку. Выявлены две генерации жил. Ранняя представлена согласными, субсогласными жилами. Мощность их 0,2-3 м, протяженность 10-15 м. Пегматиты имеют пегматомичную структуру, изредка переходящую в блоковую, гранитовую или ашлитовую. Темноцветные минералы представлены биотитом, мусковитом, эпидотом, гранатом. Общее их содержание не превышает 10%, а мусковита - 5-7%. Жилы последней генерации скуют гнейсовидность имеющихся пород и согласные жилы пегматитов. Они распространены среди тел раннепротерозойских квадровых диоритов, реже встречаются среди гнейсов. Простижение их северо-восточное и субмеридиональное, углы падения 40-90°, мощность 0,1-4 м, протяженность до 25 м. Пегматиты содержат мусковит, эпидот, реже биотит и гранат. Как правило, они крупнозернистые, чем пегматиты ранней генерации, часто облашают блоковым строением и богаче мусковитом (до 15%). Размер пластины последнего достигает 120 см².

В одной из согласных жил установлены (в \%): кварц - 30, олигоклаз (№ 22-23) - 50, микроклин - 15, мусковит - 2, эпидот - 3 и акцессорные апатит, циркон; в несогласных жилах: кварц - 35-40, олигоклаз (№ 16-18) - 50-54, микроклин - 3-10, мусковит - 5, эпидот - 3. Мусковит в проходящем свите бледно-бурый, не плеохроичный $\text{Ng} = 1,620$; $\text{Nr} = 1,581$; $2V = -25-30^\circ$. Содержание фтора - 0,06-0,08%, кама - 8,52%.

Особенностью раннепротерозойских гранитоидов является единство их по характеру минеральных ассоциаций (олигоклаз, зеленоватый биотит, мусковит, эпидот, гранат) с метаморфическим комплексом нижнего протерозоя. Учитывая то, что граниты подверглись обтачке, обладают гнейсоподобностью, образуют согласные, субсогласные тела, их становление связывается с периодом ультраметаморфизма и складчатости имеющих нижнепротерозойских пород.

ПОЗДНЕПРОТЕРОЗОЙСКИЕ ИНТРУЗИИ

Лайки

Лайки - габбро-диабазы (р. PR₃) распространены в виде даек вблизи покровов верхнепротерозойских лайков, преимущественно среди архейских пород. Наиболее плотные рои прутрочены к системе сближенных разломов северо-восточного направления, пересекающих бассейны рек Соловецк, Карьялак и Гиль. Диактизы преимущественно простираются по аз. 20-60°, падая вертикально либо к северо-западу под углами 35-70°. В верховых рек Бол.Бартак и Соловецк отмечены простирания к СЗ 305-315°. Максимальная мощность даек 200 м, наблюдавшаяся протяженность до 1,5 км. Краевые их части (0,5-2 м) сложены афантитовыми диабазами, а центральные - габбро-диабазами. Маломощные лайки однородны по структуре.

Диабазы имеют массивную текстуру и диабазовую структуру. Они состоят из лейст зонального пластика № 27-57 (55-60%), клинопироксена (до 5%) и вторичных уралита, бастита, эпидота, ильменита. Аксессорные минералы представлены магнетитом (до 5%), апатитом, сфеном. Габбро-диабазы имеют массивную текстуру и габро-оббитовую структуру и отличаются от диабазов лучистостью и палимбованностью.

Галька диабазов - частый компонент континентальных жељенской свиты верхней юры - нижнего мела. Учитывая тесную пространственную связь и петрографическую идентичность покровных диабазов немериканской свиты и интузивных диабазов, последние также отнесены к позднему протерозою.

ПОЗДНЕДЕВОЗОЙСКИЕ (?) ИНТРУЗИИ

Биотитовые граниты, плагиограниты (р. Р2?) образуют тела (до 60 км²) в верховых рек Оманжи, Лев. Тиги, Сорвак и в среднем течении р.Чеборкан. Они прорукаются к субширотным разломам и прорывают породы архея и нижнего протерозоя.

В строении массива верховьев р.Бол.Оманджи (24 км³) устремлена вертикальная зональность. В подножье долины этой реки слагают светло-серые, кремово-серые, массивные, среднезернистые плагиограниты. У гребня Майского хребта последнее постепенно сменяются порфировидными гранитами путем насыщения пород порфирибластами юрого калиевого полевого шпата. Остальные тела сложены преимущественно порфировидными гранитами. Последние нередко содержат жилы альита с пегматоидными оторочками. В бассейне р.Чеборкан граниты интенсивно развалованы и имеют очковую текстуру. Лишь в центральных частях тела сохраняются слабо измененные породы с массивной текстурой.

Плагиограниты имеют гипсоморфоизоморфистную либо катакластическую структуру. Они содержат (%): кварц – 25–30, плагиоклаз – 45–60, микроклин – 10–20, биотит – 3–5. В давленых породах характерны вторичные хлорит, эпидот, серидит (до 5%). Аксессорные минералы: сфен, циркон, апатит, магнетит. Плагиоклазы представлены идиоморфными слабо зональными зернами. Состав их изменяется в зонах от № 23 до № 28. В породах – две генерации микроклина: ранняя развита в интэрстициях плагиоклаза и содержит вростки его идиоморфных зерен; поздняя – представлена решетчатым микроклин-пертигитом, коррелирующим плагиоклазом и образующим порфиробласты размером до 5 мм.

Граниты обладают гипсоморфоизоморфистской структурой с элементами порфиробластовой, коррозионной и катакластической. Они содержат (%): кварц – 30–35, микроклин – 25–40, плагиоклаз – 20–40, биотит – 2–3, вторичные хлорит, серидит, эпидот – 0–4, акессорные: магнетит, апатит, циркон. Среди полевых шпатов преодолевает поздняя генерация микроклин-пертигита, образующего порфиробласты размером до 0,8 см. Гранит (обр. 6294, истоки р.Сондак) по числовым характеристикам близок к аляскиту по Р.Дэли, но несколько более кремнеземом и щелочами и богаче темноизетинами.

Описываемые гранитоиды прорывают раннепротерозойские (?) граниты (верховья р.Сондак) и, в свою очередь, прорываются раннекембрийскими (верховья р.Бол.Бартак). Позднепалеозойский возраст их условно принят на основании сопоставления со сходными породами на территории, расположенных к северо-востоку. На площади листа № 53-IV /3/ подобные граниты перекрыты перекомами (?) валунно-галечными конгломератами, а на листе № 53-Ш их радиологический возраст равен 278 млн. лет /10/.

ПОЗДНЕМОРСКО-РАННЕМЕЛОВЫЕ СУБУЛКАНИЧЕСКИЕ ИНТРУЗИИ

Диоритовые порфириты (№ 53-К₁) обра- зуют два тела среди пород джелонской свиты. Они расположены на водоразделе рек Верх.Эльги и Ныгали и в левобережье р.Промадей. Первое тело предположительно представляет собой шток площадью около 1 км². Он сложен мелковкаплевидными зеленовато-серыми диоритовыми порфиритами. Контакт их с андезитовыми порфиритами, установленный по делению, резкий. Диоритовые порфириты прорваны телом гранодиоритов узкого комплекса. Тело в правобережье р.Промадей (0,7 км²) вытянуто вдоль зоны субширотного разлома. В слажающих его диоритовых порфиритах обнаружено множество ксенолитов андезитовых порфиритов.

Диоритовые порфириты обладают массивной текстурой, порфиритовой структурой. Основная ткань призматическая изеристая. Фенокристы (до 3 мм), слагающие около 50% объема породы, представлены зональным андезитом № 30–50 м редкими зернами клинопироксена. В основной ткани присутствуют микролиты плагиоклаза (60–65%), клинопироксена и замещающий его уралит (20%), кварц (3%), хлорит, эпидот, биотит, кальцит, магнетит, апатит.

Данные породы рассматриваются как интрузионные аналоги пограничных порфиритов джелонской свиты. Более поздние диоритовые порфириты, образующие дайки, отличаются от них меньшей степенью вторичных изменений и наличием фенокристаллов зеленой роговой обманки.

РАННЕМЕЛОВЫЕ ИНТРУЗИИ

Улский комплекс

Интрузивные образования улского комплекса занимают около 45% территории. Они разделены на две фазы: 1) диориты, габбро-диориты, пабро, 2) гранодиориты, граниты, кварцевые диориты. Эти породы слагают три крупных массива. Чалбук-Ялонский массив (810 км²) расположен в северной части площади, Икондинский (185 км²) – в центральной, а Гычинский (1180 км²) – в южной.

Диориты, габбро-диориты (δ К₁ ad), т. б. б. р. о. (γ К₁ ad) приурочены к краевым частям массивов, редко образуют обособленные тела площадью до 36 км². Они прорывают

все донежловые образования, включая породы джелонской свиты. Диабазы, андезитовые порфириты и туфы на контактах с ними ороговикованы. На контактах с известняками в верховых р.Гиги наблюдались шпинели-форстерит-диопсид-ротовобоманковые скары. Ширина зон контакто-измененных пород 200–250 м. Контакты крутопадающие. В составе фазы преобладают диориты. Габбро тяготеют к глубоким сечениям тел и постепенно переходят в диориты. Породы, как правило, обладают высокой магнитной восприимчивостью (среднее значение $1500 \cdot 10^{-6}$ ед. CGSM) и на карте магнитного поля выделяются пиками положительной напряженности.

Структура пород призматическая или габбровая. Содержания минералов изменяются в следующих пределах (в %): патио-клас – 50–70, роговая обманка – 20–45, пироксен – до 8, биотит – до 3, кварц – до 5. Вторичными минералами являются хлорит, эпидот, серцинит, уреллит; акцессорными – магнетит, пирит, сфен, апатит, циркон. Платиоклазы идиоморфны, ритмично зональны. Состав их колебается в диоритах от № 35 до № 50, в габбро-диоритах – от № 48 до № 58, в таборо – от № 52 до № 72. Роговая обманка плеократирует в коричневато-зеленых тонах, биотит – в коричневых. Моноклинный пироксен (диаплаг) сохраняется внутри зерен уралита. Возрастное положение пород данной фазы определяется тем, что они прорывают верхнеуральско-нижнемеловые эфузивы джелонской свиты и сами прорваны гранитоидами следующей фазы ульского комплекса.

Гранодиориты ($\text{G}_1 \text{ ad}$), транзиты ($\text{T}_1 \text{ ad}$), кварцевые диориты ($\text{Q}_1 \text{ ad}$) доминируют в составе ульского комплекса, слагая крупные массивы и мелкие тела. Чалбук-Диконский и Гигинский массивы имеют сложную конфигурацию, разветвляясь на ряд крупных апофиз. Контакты гранитов с докембрийскими образованиями крутые (60–90°). Во внутренних частях массивов плоско-параллельная ориентировка минеральных агрегатов отражает структуры течения, напоминающие куполы (правобережье среднего течения р.Лимну), валы (верховья р.Прав.Гиги) и крутые моноклинали. Кровли массивов чаще всего сложены осадочными и пулканогенными породами. Контакты с ними резкие, сопровождающиеся зонами закалки (0,5–2 м) и ороголами роговиков шириной до 1,5–2 км. По песчаникам и алевролитам развиты кварц-полевощат-биотитовые, кварц-биотитовые, кварц-сиrokсен-апатит-биотитовые роговики; по основным и средним контактам – кварц-корнишерит-андезит-биотитовые и гранат-биотит-кварц-полевощатовые роговики.

В составе фазы количественно преобладают среднезернистые массивные, изредка порфировидные гранодиориты. Граниты тяготеют к внутренним частям массивов, а кварцевые диориты преимущественно к краевым и апикальным частям. Для всех пород характерны се-рий цвет, идиоморфизм зерен биотита и роговой обманки, а также наличие ксенолитов диоритов первой фазы. Контакты между разновидностями чаще всего постепенные, но отмечаются и резкие. Однако последние не сопровождаются зонами закалки и отнейсования. Повидимому, они обусловлены тем, что расплав в процессе длительного застывания периодически проникал в охлажденные краевые участки магматических камер. Среднее значение магнитной восприимчивости описываемых гранитоидов $800 \cdot 1300 \cdot 10^{-6}$ ед. CGSM. Они создают преи-мущественно положительное поле. Лишь в верховьях рек Прав.Гиги, Салга-Дикму, Кононий, Ногали над массивами установлены отрица-тельный напряженность. Не исключено, что на этих участках тела имеет птикообразную форму и настолько маломощны, что не изменяют положенного поля, свойственного имеющим докембрийским породам.

Содержание минералов в кварцевых диоритах, гранодиоритах и гранитах следующее (в %): кварц – 10–35, платиоклаз – 30–70, ми-кроклин – 3–35, биотит – 3–10, роговая обманка – 1–15. От 1 до 5% приходится на хлорит, эпидот, серцинит и акцессорные: магнетит, апатит, сфен, циркон, орцит. Структура кварцевых диоритов призма-тических и зернистая, гранодиоритов и гранитов – гипидроморфовзви-стая. Зерна платиоклазов имеют ритмично-изоцентрическое строение, со-став их в гранитах № 20–30, в гранодиоритах – № 25–32, в кварде-вых диоритах – № 30–46. Миоклин обладает нечеткой двойниковидной решеткой, в гранитах он содержит перититовые зростки. Биотит пле-охристиат – в коричневых тонах, роговая обманка – в светло-зеленых. Транзиты по химическому составу (обр. 330, р.Дикму) близки к по-лекембрийскому граниту по р.Дэли, несколько отличаясь от него по-вышенным содержанием кальция и пониженным – алюминия. Гранодиори-ты (обр. 2715, р.Бороголи, З194, водораздел рек Кустак и Салга-Дикму) относятся к ряду гранодиорит-кварцевый монцонит по р.Дэли и характеризуются режимом преобладания натрия над кальием. Кварце-вые диориты (обр. 3458, бассейн р.Бороголи; 4028^a, бассейн верхне-го течения р.Маган; 4169, среднее течение р.Ногали) близки к груп-пе кварцевый диорит – диорит (включая кварцевые диориты) р.Дэли. Характерными элементами-примесями в кварцевых диоритах, гранодио-ритах и гранитах являются (в %): медь – 0,0005–0,005, синец – 0,001–0,005 и цинк – 0,01–0,1. К массивам этих пород тяготеет проявление молибдена, полиметаллов из золота.

Гранитоиды ульского комплекса прорывают Верхнеирскую-нижнеловую джелонскую свиту и перекрывают /10/ нижнелововой магматической свитой. В бассейне р.Улы на них залегают конгломераты южно-ионской свиты неокома /30/. Радиологический возраст образца № 67 гранодиорита (Чалук-Яконский массив) оказался равным 75 млн. лет (калий-аргоновый метод, валовая проба, $K = 2,21\%$; $\text{Ar}^{40} = 11,3 \text{ мт/г}$; $\frac{\text{Ar}^{40}}{\text{K}^{40}} = 0,0042$). Но он, очевидно, омоложен, поскольку возраст лайки диоритового порфирита, прорывающего эти гранодиориты, 99 млн. лет (тот же метод, обр. № 1066, $K = 2,09$; $\text{Ar}^{40} = 14,2 \text{ мт/г}$; $\frac{\text{Ar}^{40}}{\text{K}^{40}} = 0,0056$).

Джульджурский комплекс

Граниты ($K_1 d_f$), гранодиориты ($\delta K_1 d_f$), кварцевые диориты ($\delta \delta K_1 d_f$), кварцевые диориты ($\delta \delta \delta K_1 d_f$) образуют тела площадью до 30 км^2 . Наиболее крупные из них находятся в левобережье рек Бомдан, Мал.Баргак и в верховых р.Верх.Эльги. В восточной части территории интрузии прорывают породы верхнего протерозоя и мезозоя и гранитоиды ульского комплекса. Они вытянуты в субширотном направлении. Конкакты тел погружаются под углами $70\text{--}80^\circ$. Вдоль них осадочные и вулканогенные породы интенсивно ороговикованы. Кварцевые диориты и гранодиориты, как правило, мелкозернистые, развиты в зонах контактов с основными и средними эфузивами. В центральных частях тел они постепенно сменяются гранитами, обладающими порфировидной структурой.

На западе площиади и в левобережье р.Бомдан тела заливают среди более древних интрузивных образований. Они сложены порфировидными гранитами, переходящими в краевых частях тел в мелко-зернистые разновидности. В левобережье р.Баргак установлены резкие интрузивные контакты их с гранодиоритами ульского комплекса. Гранитоидам джульджурского комплекса в целом свойственны мелкозернистость и порфировидность, пепельно-серая, иногда сиреневатая окраска, мелкозернистость биотита. Текстура массивная, структура гипидиоморфозернистая, в породах, обогащенных калием, полевым шпатом, — монцонитовая. Содержания минералов следующие (%): кварц — 7–30, микроперлит — 8–35, плагиоклаз — 25–60, биотит — 5–8, роговая обманка — 0–15, магноклинный пироксен — 0–3; вторичные: хлорит, серцит, эпидот и акессорные: магнетит, апатит, пирит, гранат, ортит, ильменит, молибденит, циркон, анафасит, циркон, ортит. Плагиоклазы образуют ритмично-ональные

цилломорфные зерна. Состав их в гранитах № 23–32, в гранодиоритах — № 25–36, в кварцевых диоритах — № 33–56. Роговая обманка преобладает в коричневато-зеленых тонах, биотит — в бурово-коричневых. Пироксен в проходящем свете бледно-зеленый, $c:Ng = 48^\circ$. Гранодиориты (обр. № 4157 и 4159, верховья р.Верх.Эльги) по содержанию цеолитов и кальция в аллюмошишках блекли к шелотонозеленым гранитам, по количеству кремния и фемиических компонентов соответствуют кварцевым монцонитам, а по соотношению натрия и калия отвечают гранодиориту по Р.Дали. По сравнению с гранодиоритами ульского комплекса в них несколько повышена шелотонозеленая гранитная фракция. Из элементов-примесей в породах установлены (в %): медь — 0,002, синец — 0,002, бериллий — 0,0003, иттрий — 0,001.

Возрастное положение пород джульджурского комплекса определяется тем, что они прорывают эфузивы джелонской свиты, раннелевые гранитоиды ульского комплекса, а северо-восточнее данното района /3, 10/ — также кислые вулканиты магейской свиты. В свою очередь, они прорваны аллюмитовыми гранитами позднего мела. Радиологический возраст аналогичных гранитоидов на смежных площадях равен 103, 128 млн. лет /20/ и 105 млн. лет /13/.

ПОЗДНЕМЕЛОВЫЕ ИНТРУЗИИ

Альскитовы граниты (K_2) обрауют трещинные тела (до 25 км^2) в междуречье Боротон-Макит и Салгалину. В левобережье верхнего течения р.Чеборкан, в истоках рек Сред.Маргат и Чалдарин. Они прорывают гранитоиды как ульского, так и джульджурского комплексов /14/. Тела обладают однородным строением, изменяется лишь степень зернистости пород в них от периферии к центру. С аляскитовыми гранитами связана жильная форма розовых аplitов с миаролитовыми пустотами.

Граниты имеют пеструю окраску, обусловленную сочетанием красного миаролита, белого плагиоклаза и темного пльмато-серого кварца. Текстура их массивная. Структура гипидиоморфозернистая с элементами микропегматитовой. В аplitах она близка к гранодиоритовой. Породы содержат (в %): кварц — 30–35, плагиоклаз — 15–30, микролин-перлит — 35–50, биотит — 1–3. В незначительных количествах встречаются мусковит, хлорит, эпидот и акессорные: апатит, пирит, гранат, ортит, ильменит, молибденит, циркон, анафасит, сурьмянистый циркон, магнетит. Миаролит обладает нечеткой двойни-

ковой решеткой, содержит до 5-10% перитовых вростков альбита.

Платиоклаз нечетко зонален и близок к олигоклазу № 22-23. По данным анализа двух образцов (3230 - водораздел рек Боротон-Макит и Салги, 7083 - р. Чаллярин), породы относятся к нормальному ряду либо слабо пересыщены алюминием. Они занимают промежуточное место между ампакитами и щелочными гранитами по Р. Дали, при несколько повышенном содержании кальция. Спектральным анализом в гранитах установлены (в %): медь - 0,001-0,005, свинец - 0,001-0,005, иттрий - 0,001, бериллий - 0,0003, спорадически молибден - 0,0003. С ними пространственно связаны проявления и ореолы россияния молибдена.

Ампакитовые граниты являются наиболее молодыми в районе. К западу от него подобные граниты имеют радиологический возраст 83 /20/ и 94 млн. лет /13/ и на этом основании считаются позднепроволыменскими.

МЕЛОВЫЕ МИГРУЗЫ

Дайки

Транзит-порфириты (Tr K), транзиторит-порфириты (Trp K), фельзиты, кварцевые порфириты (Fp K), иоритовые порфириты (Ior K), спессартиты (x K), андезиты (an K).

Рассматриваемые дайки образуют рой, тяготеющие к разломам северо-восточного, реже субширотного простирания. Они наиболее распространены в верхнем течении рек Кононий, Лимну, Большой Бар-Так и в среднем течении рек Карымчик и Нижний Чалбук. Протяженность роя до 30 км, ширина до 5-6 км. Отдельные группы дайк спорадически встречаются и на остальной территории. Мощность дайк чаще всего 20-50 м, редко до 200 м, а длина до 2 км. Около 70% дайк простирается на северо-восток, 20% - в субширотном и северо-западном. В верхнем течении р. Кустак установлен кугообразный рой дайк андезитов, которые на расстоянии 3 км постепенно меняют свое простижение от 345 до 260°.

Транзитные узкого комплекса прорваны дайками всех перечисленных пород. Среди тел джульджурского комплекса встречены все разновидности даек за исключением андезитов. Позднемеловые гра-

нины прорваны дайками кварцевых порфиров и транзиторит-порфиров. Вместе с тем, в гранитоидах ульского комплекса встречаются ксенолиты плоритовых порфиритов, а в джульджурских и позднемеловых гранитах - ксенолиты гранодиорит-порфиров. Дайки кварцевых пород простираются связана как с позднемеловыми гранитами, так и с эфузивами магейской свиты. Еще более сложны соотношения между разновидностями дайковых пород. Из имеющегося материала можно сделать вывод о том, что жильными сериями сопровождаются все меловые интрузивные и вулканические образования, но в большинстве случаев объективно привязать дайки к конкретному комплексу без специальных исследований невозможно. Поэтому все они датируются мелом.

По составу и структуре все дайковые породы района симметричны соответствующим "стандартным" разновидностям, приводим в петрографических справочниках. С дайками намечается простирающая связь золото-полиметаллической, медно-висмутовой и адуниевой минерализации.

ТЕКОНИКА

Тектоническая структура района в основном сформировалась в результате проявления архейской, раннепротерозойской, позднепротерозойской и мезозойской эпох тектогенеза.

В соответствии со "Схемой структурного районирования Хаджаровского края и Амурской области", под.ред. В.В. Оникимовского (1969), в районе выделяется (рис.2): раннепротерозойская складчато-глыбовая зона; зона аянского перикратонного прогиба; зона Удукского вулканического прогиба. Вся территория к северу от Ульского прогиба расположена в зоне мезозойской тектонической активизации Становой складчатой области.

Гравитационное поле района характеризуется возрастанием силы тяести с севера на юг. Северная его часть относится к региональному Тарканскому минимуму /22/. Помимо поля глубоко соответствует контурам Чалбук-Янкунского массива. Крайняя юго-восточная часть территории относится к Лено-Ульскому максимуму, соответствующему осевой части вулканического прогиба. Максимум, по-видимому, обусловлен крупным расколом земной коры, выполненным основными интрузиями.

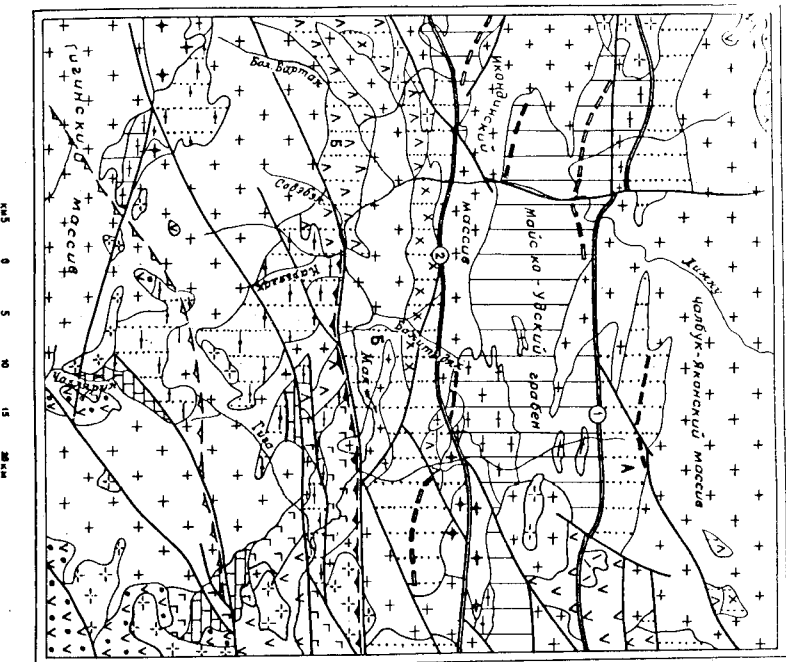
Раннепротерозойская складчато-глыбовая зона

Описываемая зона подразделяется на Джутикурский и Чогарский выступы архейского фундамента и Майско-Ульский грасен. Границы с севера ограничены Салта-Джанинским, а с юга Уджинским долгоживущими разломами.

Архейский складчатый комплекс относится, вероятно, к первичной терригенно-вулканической формации. Магматические образования представлены формациями габбро-анортозитов, палингено-метасоматических гранитов и амфилитовых анатектитов.

В пределах Джутикурского зонтичного ступения от правобережья среднего течения р.Чеборкан-Макит до среднего течения р.Кустак прослеживается в субширотном направлении сложно построенная антиклиналь, шарнир которой резко у倾斜ирует. В приосевой ее части отмечается система куполов поперечником до 1-2 км с падением пород от склонов под углами 5-70°, а в периферийской развиты невыдержаные по простирации складки шириной до 2 км с углами падения крыльев 30-40°. В восточной части Джутикурского выступа намечается разворот структур в северо-восточном направлении. В Чогарском висячим антиклиналью северо-восточного профиля. В юго-восточное крыло сохранилось в нижнем течении р.Кононный, где породы падают в южных руслах под углами 15-40°. В северо-восточном крыле (нижнее течение р.Чеборкан) при общем погружении толщи в северных руслах под углами 20-45° наблюдаются асимметричные складки шириной в первые сотни метров. Фрагмент поперечной антиклинали (возможно части купола) шириной около 4 км установлен вдоль р.Май, выше устья р.Чеборкан.

Раннепротерозойская складчато-глыбовая зона: 1 - выступы архейского фундамента обозначены на схеме буквами: А - Джутикурский, Б - Чогарский; 2 - блоки раннепротерозойского складчатого комплекса; 3-5 - архейские метаморфические формации: 3 - габброрыбы, 4 - амортозитовая, 5 - палингено-метасоматических гранитоподков; 6 - раннепротерозойский диорит-плагиогранитовая формация. Зона Аянского перикратонного прогиба: 7 - условная граница зоны; 8 - нижний структурный этаж (терригенно-карбонатный комплекс); 9 - верхний структурный этаж (вулканический комплекс). Ульский вулканический прогиб: 10 - предполагаемая граница прогиба, 11 - терригенно-вулканическая (андезитовая) формация. Магматические формации и субформации, связанные с тектонической активизацией района. Позднедревелейская (?): 12 - гранитовая; мезозойские: 13 - андезитовая, 14 - гранодиоритовая, 15 - липаритовая, 16 - гранитовая; 17 - оси крупных складок: а - антиклиналь, б - синклиналь; 18 - разломы: в - главные обозначены на схеме цифрами в кружках: Салта-Джанинский, Ульхинский; б - второстепенные этап этой складчатости.



М а й с к о - у л с к и й т р а б е н^х/ представляет собой вытянутую в субширотном направлении структуру. Комплекс слагающих его метаморфических пород, вероятно, относится к первичным терригенно-отчасти вулканогенной формации. С ними ассоциирована диоритоплагиогранитовая магматическая формация.

Главными структурами Майско-Ульского грабена являются Курай-кандинская антиклиналь и сопряженная с ней Борогон-Макитская синклиналь. Присоединяющая часть Курай-кандинской антиклинали прослеживается по выходам сивакской свиты. Шарнир ее определяется погружаясь под углами 5-15°, а периклиналь фиксируется в нижнем течении р.Лиму. В низовых р.Борогон эта антиклиналь сменяется Энту-Чайхской синклиналью, более четко выраженной западнее изученного района /13/. Углы падения ее крыльев 70-80°, в присоединенной части они местами вновь определены до 20-30°.

Мульда Борогон-Макитской синклинали фиксируется в районе низовьев р.Кустак. Кругизна погруження крыльев этой складки меняется от 15-40° вблизи оси до 70-80° - в удалении от нее. Эта синклиналь характеризуется резкой узкующей шарнира и извилистостью осевой линии. К присоединенной части тяготеет серия ветвящихся складок шириной до 2-3 км. Антиклинали нередко имеют гребневидную форму и опрокидутся к северу. В средней части общего крыла Борогон-Макитской синклинали и Курай-кандинской антиклинали выражено устойчивое моноклинальное падение город в северных румбах под углами 20-50°. Эта моноклиналь целиком занимает восточную часть Майско-Ульского грабена. В бассейне р.Чеборкан на ее фоне фиксируются асимметричные складки шириной 2-3 км с углами падения крыльев 35-70°. В целом, система раннепротерозойских складок не гармонирует с современными очертаниями грабена и косо срезается ограничивающими его разломами. Для этой складчатости характерно широкое развитие малых форм, наиболее интенсивно проявленных в ядре Борогон-Макитской синклинали, где развиты изоклинальные, опрокидутые, иногда лежачие складки.

Ульянский и Салга-Джанинский разломы являются долгоживущими зонами структурами. Они контролируются зонами бластомилонитов, катаклазитов и телами раннепротерозойских, позднепалеозойских (?) и меловых интрузивных пород. С наиболее ранними движе-

ниями по ним связаны высокотемпературные бластомилониты, образовавшиеся в условиях амфиболовой и эпидот-амфиболовой фации. Салга-Джанинский разлом^х/ пересекает р.Кустак и среднее течение р.Кононий. От его главного шва, разделяющего образования архей и нижнего протерозоя, отвечается серия блоками разрывов. Ширина зоны бластомилонитов и катаклазитов вдоль главного шва - 1,5-2,5 км. Бластомилониты смыты. Они падают к северу под углами 30-80°. Шарниры блоков в них залягают субгоризонтально. По конфигурации плоек ранние движения интерпретируются как выбросо-надвиговые. Наиболее крупный разлом, опережающий главный, рассекает Борогон-Макитскую синклиналь. Он представлен серией сближенных нарушений, контролируемых бластомилонитами и кварц-полевошпатовыми метасоматитами. Бластомилониты погружены к северу под углами 40-80°. Ульянский разлом, ограничивающий с севера Чотарский валик, пересекает устья рек Сехаг, Борогон, низовья р.Лиму и Кононий. Ширина выходов бластомилонитов вдоль его главного шва изменяется от 0,2 до 2 км. По их элементам Ульянский разлом интерпретируется как сброс с неровной поверхностью смещителя, круто погруженной преимущественно в северных румбах.

Раннепротерозойские дислокации архейского фундамента выражены системой разломов, контролируемых зонами амфибол- и олигит-содержащих бластомилонитов, рассланцеванием и смытием город. Разломы имеют субширотное и северо-западное простирание. Ширина зон бластомилонитов колеблется от 100 до 600 м. Они падают к северу под углами 60-80°, реже к юг-юго-западу под углами 70-80°. Бластомилониты постепенно переходят в интенсивно рассланцеванные гнейсы-диафториты, смятые в систему вторичных мелких лежачих, часто изоклинальных складок. Ширина зон смытия достигает 300 м. В удалении от разломов вторичное смятие и сланцеватость в породах исчезают, и фиксируются типоморфные для архея плавные складки. Судя по конфигурации плоек в бластомилонитах, движения по раннепротерозойским разломам были существенно вертикальными. Амплитуда их оценивается в 300-800 м. В Чотарском выступе высокотемпературная бластомилонитизация широко проявлена в субширотных зонах, щель периферии массивов архейских габброидов, а также в гранитоидах Марагайского массива. К этим зонам приурочены

х/ Введение нового географического наименования (Салга-Джанинский) для разлома, находящегося на простирации Ставского и, как и последний, разделяющего архейские и протерозойские образования, кажется излишим. (Прим.ред.).

ны вытянутые тела раннепротерозойских (?) гранитоидов и мелкие тектонические клины нижнепротерозойских гнейсов.

Таким образом, Чотарский и Джульджурский блоки архея подверглись единому процессу структурной переработки в условиях метаморфизма, который испытывали породы Майско-Ульского грабена. Косая ориентировка складчатой структуры относительно границ гра-бена, наличие вне его мелких блоков нижнепротерозойских пород и региональный дифференцированный гранитоидов свидетельствуют о первоначальном распространении нижнепротерозойского складчатого комплекса на площади закартированных выступов архея. Вместе с тем, лишь в пределах Майско-Ульского грабена проявился ультраметаморфизм в условиях амфиболитовой фации и локализовалась ранне-протерозойские интрузии. Поэтому вероятно, что на месте Майско-Ульского грабена первоначально располагалась высокопроницаемая корневая часть более обширной раннепротерозойской подвижной зоны. В окончательном виде как крупный опущенный (относительно архейского фундамента) блок он сформировался в результате много-кратных движений по ограничивающим его разломам.

Зона Аянского перикратонного прогиба

Рассматриваемая зона занимает юго-восточную часть террито-рии. В ее пределах в виде фрагментов сохранились два позднепро-терозойских структурных этажа: а) нижний, представленный склад-чатым карбонатно-терригенным комплексом, б) верхний, сложенный покровным вулканогенным комплексом. Северо-восточная граница зоны является условной и проводится по серии сближенных разломов северо-восточного и широтного простираний, ограничивающих рас-пространение верхнепротерозойских образований. Разломы контроли-руются зонами низкотемпературных (серидит-хлоритовых, эпилот-хлоритовых) бластомионитов. Состители разрывов падают к севе-ру, северо-востоку под углами 50–70°.

Н и ж н и й с т р у к т у р н ы й э т а ж . Терригено-карбонатный комплекс сочетает черты формаций как геосинклиналь-ного, так и платформенного типов. К типично платформенным отно-сятся формации квартцевых песчаников и доломитов. Верхняя карбо-натно-флишовая часть разреза напоминает геосинклинальные обра-зования. Такой набор формаций, учитывая значительную мощность отложений, близок к формациям перикратонных прогибов окраины Сибирской платформы (Идомо-Майского, Уланского).

Марагайский, Нальдинский и Чалдыринский блоки отделены друг от друга крупной апофизой Тычинского массива. В Марагайском блоке породы смты в складки северо-восточного простирания, в Чал-дыринском – кругло (40–70°) падают преимущественно к юго-востоку.

При совокупном рассмотрении этих блоков видно, что они слагают серпообразный останец круглой антиклинали широтного простирания, в ядре которой выступает горст пород кристаллического фундамента. На фоне этой структуры развиты более мелкие складки. В верховых р. Найдали фиксируется чашечная синклиналь шириной около 2 км с углами падения крыльев 30–50°. В низовьях р. Найдали породы смты в антиклиналь, погруженную к северо-западу. Крылья ее падают под углами 35–60°. Эти структуры, в свою очередь, осложнены складка-ми шириной в первые сотни метров, часто гребенчатыми, астилет-ическими с крутым (70–85°) падением крыльев. В тонкослоистых песчано-алевролитовых пачках встречаются изоклинальные, опрокину-тые внутритласовые складки типа волочения шириной до 3 м. В центральном сегменте складок в нальдинской синклинали характеризуется неров-ным зеркалом, невыдержанностью простирания осей, что связано, видимо, с неровной поверхностью фундамента.

В е р х н и й с т р у к т у р н ы й э т а ж . Судя по тому, что покровные дисации перекрывают как складчатый осадочный комплекс, так и породы кристаллического фундамента, между образованием немериканской и нальдинской синклинали, вероятно, был пе-ремод размыта. Покровы, разные в широтной пояске юголь р. Маи, погружаются преимущественно к северу и северо-востоку, не сооб-разуясь с более сложной складчатой структурой нальдинской синклинали. В основании покровов флишильность и слоистость падают под угла-ми 10–40°. Но в некоторых местах флишильность ведет себя при-хотливо, углы падения ее достигают 50–70°, что может быть свя-зано с неровностями фундамента либо с выходами подводных канала-лов.

Большинство разломов, предположительно ограничивающих прогиб, диадаззы подверглись локальному смты и рассланцеванию. Так, по р. Маи, в междуречье Бомдан и Чеборкан, в зонах шириной 0,5–0,8 км, они превращены в плитчатые хлорит-актинолитовые блasto-милониты, купто падающие в северных румбах.

Зона Аянского перикратонного прогиба, вероятно, была тек-тонически активной и в палеозое, поскольку к ней тяготят инту-зии позднепалеозойских (?) гранитоидов, известные как на рас-сматриваемой, так и на сопредельных территориях /13, 15/.

Зона Ульского вулканического прогиба

Граница прогиба условно проводится между верховьями рек Нальды, Тиги и Каръялак по появлению в составе джелонской свиты значительного количества терригенных отложений. Во внешней северо-западной части прогиба падение слоев и потоков преобладающе юго-восточное под углами 10–35°, в среднем течении р.Нога-ли оно сменяется северным под углами 10–15°. По этим данным можно допустить, что породы джелонской свиты смыты в пологую склонную северо-восточного простирания. На ее фоне в истоках р.Промысловой закартирована концентрическая положительная структура поперечником 2–3 км, образованная алевроматовыми и псевдогипсоми туфами и андезитами. Углы падения их изменяются от 25 до 80°. Размер обломочного материала в туфах от центра к периферии этой структуры уменьшается, в связи с чем ее можно считать эродированним вулканическим конусом. Терригенно-вулканический комплекс разбит на блоки разломами северо-восточного, широтного и северо-западного направлений, контролируемыми меловыми интрузиями и зонами катаклаза. Вдоль них отмечается локальное смытие меловито-известниковых пород джелонской свиты. Блоковые движения обусловили первоначальную зородированность отложения в периферической части прогиба. В наиболее приподнятом участке верховьев р.Тиги вулканогенные отложения полностью размыты.

Одновременно с развитием Ульского прогиба смежная часть донецкой складчатой области испытывала мощную тектоническую активацию. В результате которой в приведенной ниже последовательности сформировалась: андезитовая субформация джелонской свиты; интрузии ульского комплекса; липаритовая субформация ма-гейской свиты; интрузии джульджурского и позднемелового комплексов; позднейшая система северо-восточных разломов и близкая к современной блоковая структура района.

К северо-западу от прогиба породы джелонской свиты сохранились на небольших участках, тяготящихся к долготившим разломам, и почти не содержат терригенного материала. Покровы залегают субгоризонтально. Лишь вдоль молодых разрывов крутизна падения флюидальности достигает 40–50°. О последующих движении можно судить, прежде всего, по форме и геологическому положению интрузий ульского комплекса. Тигинский и Чалбук-Яконский массивы приурочены к выступам архейского фундамента и сопровождаются радиально-концентрической системой апофизов и сателлитов. При этом

отмечается, что вулканические покровы, а в юго-восточной части площади и осадочные образования, сохраняются преимущественно в обрамлении массивов. Отсюда можно сделать вывод о том, что последние возникли в результате раскола словово-глинистых структур, развивающихся на месте наступлов древнего фундамента. Во вмещающих породах, близких массивов, отмечается широкое развитие поперечных к просирианию контактов зеркал скольжения с субгоризонтальными бороздами, в то время как в гранитоидах преобладают вертикальные борозды скольжения. Это свидетельствует о вероятной связи становления массивов и смытия во вмещающих породах. Наиболее крупный меридиональный сдвиг установлен вдоль нижнего течения р.Дыму. Смещение контактов смыти раннего прорыва вдоль него достигает трех километров. После консолидации массивов по сбросам была заложена система горстов и грабенов. Примерами грабенов являются блоки пород джелонской свиты в верховьях р.Салда-Лимы, в низовьях р.Чеборкан-Макит, а также Маратайский и Чалыринский блоки верхнепротерозойских пород. Они ограничены зонами катаклаза, продолжавшимися в телах гранитоидов Ульского комплекса.

Следующий цикл тектоно-магматической деятельности отнесен от предыдущего периода размыва пород, о чем свидетельствует залегание кислых эфузивов магейской свиты на гранитоидах Чалбук-Яконского массива /26/. Породы магейской свиты в правобережье р.Чеборкан-Макит падают к юго-западу под углами 17–18°, залявая на неровной поверхности. Интрузии джульджурского и позднемелового комплексов локализуются преимущественно на периферии предполагаемых сводово-блочных структур. Движения в этот период, вероятно, имели унаследованный характер относительно предыдущего этапа мезозойского тектогенеза.

Мезозойский тектогенез завершился проявлением блоковых движений по древней системе разломов и новой, наиболее ярко выраженной, имеющей северо-восточное простирание и тяготеющей к периферии Ульского прогиба. Эти разрывы рассекают и смыщают все интрузивные образования. Они четко дифференцируются на аэрофотоснимках и прослеживаются на десятки километров, контролируясь зонами тектонических брекций. Перемещения по этим разрывам (вероятно, сбросового типа) измеряются сотнями метров.

ГЕОМОРФОЛОГИЯ

Рассматриваемый район относится к области нестектонических полиний систем хребтов Джулькура и Станового. Он характеризуется чередованием участков кругосклонного среднегорного и более пологосклонного низкогорного рельефа.

Наиболее возвышенная часть района — Майский хребет — представляет собой субширотное линейное полиние. Хребет асимметричен. Главный водораздел круто обрывается к северу, сменяясь мosaичным низкогорьем. Ихные отроги возвышаются над его осевой частью до отметки 1892 м. Треебни хребта и его высоких отрогов имеют зубчатые очертания. На высотах 1850–1890 м сохраняются реликтовые поверхности выравнивания в виде сладо всходименных площадок шириной 100–200 м и протяженностью до одного километра. Склоны представляют собой крутые (25–40°) денудационно-эрозионные либо денудационно-эрозионные поверхности. Первые имеют преимущественно выпуклые поперечные профили и рассечены узкими каньонообразными ложбинами. Денудационно-эрозионные поверхности представлены карами и трогами двух генераций. Древние кары расположены на уровнях 1100–1400 м вдоль северных склонов и на высотах 1400–1600 м вдоль южных. Стеники их сплошны, почти лишенны скальных обрывов. Эти кары переходят в троговые долины длиной до 9 км. Часть каров пропитана верховьями крупных водотоков. Выше их реликтовых сегментов долины имеют U-образный профиль, а ниже — троговый. Кары поздней генерации развиты лишь на северных склонах на уровне 1400–1600 м. Они характеризуются крутыми, обрывистыми стенками с радиальной системой ложбин и перекходят в короткие висячие троговые долины длиной до 2–3 км.

Поверхности днищ долин в районе Майского хребта имеют ледниково-речное происхождение. Первые представлены среднечертитной и вертикальной моренами. Среднечертитная морена берет начало из каров первой генерации. В субширотных долинах верховьев рек Большой Оманды, Прав. Гиты, Чалляри ледники этой эпохи вынуждали длиной шириной до 0,8 км. Морена в них образует размытые ували и прослеживается на расстояние 8–9 км. Колечные уступы ее смыты. В долинах, обращенных на север, протяженность морены 5–7 км, а на южных склонах — не более 2–3 км. Верхнечертитовая морена выполняет кары поздней генерации и прослеживается вдоль молодых трогов на расстояние до 4 км. Троти оканчиваются висячими (до 40°) уступами. Поверхность морены бутристая, в краевых частях валообразная.

Поверхности аллювиального происхождения в районе хребта развиты незначительно и представлены двумя полнечертитовыми террасами высотой 3–5 и 7–12 м и шириной до 200 м. Верхняя терраса причленяется либо к среднечертитовой морене (Q_{II}^2), либо к коренным склонам, не имеющим более высоких аллювиальных поверхностей. Сюда следует, что максимальный эрозионный врез имел место по второй половине среднечертитовой эпохи, после чего рельеф стабилизировался и врез составил (по высоте заложенияных увалов ранней морены) всего 20–30 м.

Майский хребет к северу сменяется массивным низкогорьем с цепочками более высоких островных гор. В чередовании этих элементов устанавливается волнообразность. Цепочки островных гор высотой 1200–1800 м прослеживаются вдоль р. Маи и между средним течением рек Кустак, Чеборкан и Кононный. В их пределах рельеф морфологически сходен с Майским хребтом.

Рельеф низкогорья выполнжен и менее расчленен. Средняя высота водоразделов 800–900 м. Здесь существенную роль играют денудационные процессы, обусловившие превалировку различных геологических тел. Так, выходы раннемеловых гранитоидов обладают плавными формами рельефа, изобилующими денудационными останцами. Более расчленен рельеф тел габброродов, диоритов и архейских метаморфических пород. Крутизна склонов низких гор в среднем 15–25°. Их профили вогнутые. У основания широких долин рек Лиму и Май развиты поверхности педипланиации. Они смыкаются с площадками высоких (40–70 м) террас и имеют ширину 0,5–2 км. Крутизна этих поверхностей в направлении водоразделов увеличивается от 5 до 10–15°. Наиболее широкая полоса подобных форм рельефа прослеживается в субширотном направлении, между реками Боротон и Бакычак, трубо совпадает с очертаниями Икондинского массива. Верховья долин в этой полосе смыкаются в пологих седловинах. Этот фрагмент, по-видимому, возник на месте отмершей долины. Последняя, судя по понижениям водоразделов, соединялась с современной долиной р. Маи в районе руч. Топостак. Брез р. Лиму относительно фрагментов этой долины составляет 300–350 м.

Поверхности ледникового происхождения в низкогорье отсутствуют. В долинах развиты четыре террасы. Четвертая терраса (Q_{II}^2) представлена редкими фрагментами в долинах р. Маи на высоте 70 м и р. Чеборкан на высоте 40 м. Третья терраса (Q_{II}^2) имеет высоту 30–50 м, ширина ее площадки до 1 км. Эта терраса цокольная либо эрозионная. Уступ четкий, площадка наклонена к долине под углом 2–3°, тыловой щов снивелирован. Высота второй террасы

(Φ_1) 15-25 м. Она аккумулятивная, но современным врезом между горизонтальными плашками по р.Лимну и Маи I-II км. Первая терраса высотой 5-12 м (Φ_2) является аккумулятивной и прослеживается по берегам всех крупных водотоков, достигая максимальной ширины 1,5 км. Ширина поймы р.Май колеблется от 0,3 до 2 км.

Из анализа строения речных долин и общей морфологии рельефа следует, что максимальный эрозионный врез к северу от Майского хребта был досреде четвертичным. Позднее происходили волнобразно, достигая наибольшей амплитуды между средним течением рек Шильчу и Кононий и в долине р.Май. Гидросеть в этот период, вероятно, имела несколько иную конфигурацию, в частности, существовал крупный водоток на месте современных долин рек Курайканда и Икондзи. В среднечетвертичную эпоху произошло замедление движений, способствовавшее выработке аллювиальных террас, перераспределению гидросети, усиленно денудационных процессов, обусловивших педипланиацию склонов и островной характер приподнятых участков. Вместе с тем, движения отдельных блоков были неравномерны. Наиболее благоприятные условия для образования россыпей имелись в участках замедленных нестепенических движений. В их пределах расположена большая часть рек Гита, Собээз, Карьынзак, Бакитыляк, Икондзи, Курайканда. В нижнем и среднем течении они имеют хорошо выраженные долины с профилами, схожими с равнинными, выстиланые отсортированным аллювием.

ПОЛЕЗНЫЕ ИСКОПАЕМЫЕ

В районе известны непромышленные месторождения свинца, цинка и россыпного золота, а такжерудопроявления мели, синицы, молибдена, никеля, редких земель, золота, альвита и сидерита-мусковита. По генезису они являются пегматитовыми, kontaktово-метасоматическими, гидротермальными и россыпными и относятся (исключая россыпи) к архейской, раннепротерозойской и мезозойской металлогеническим эпохам.

МЕТАЛЛИЧЕСКИЕ ИСКОПАЕМЫЕ

Черные металлы

Мелево, Титан

Титаномагнетитовая минерализация пристра архейским габбро и габбро-анортозитам. Повышенные концентрации этого минерала (до 10-20%) приурочены к полосам анортозитизированных габбро Сехтасского и Кун-Маньенского массива. Ширина полос 30-300 м, а протяженность до 3-5 км. Над изученными частями массивов отсутствуют значительные минеральные аномалии, в связи с чем обнаружение здесь крупных залежей богатых руд маловероятно.

Цветные металлы

Медь

Убулаг медная минерализация гидротермального и скарнового происхождения сопутствует синице, цинку, висмуту и молибдену.

В двух проявлениях медь встречена как самостоятельный компонент. Проявление (Г-Г-6) на водоразделе рек Борогон-Макит и Салги приурочено к зоне контакта бластостомилонитов по нижнепротерозойским гнейсам и амфиболовым гранитам (τK_2). Среди этих пород на площади 200x50 м встречены делювимальные обломки (до 30 см) кварца-магнетит-гематитовой породы с халькопиритом. Минерографическим анализом в ней установлены (в %): магнетит - 15-20, гематит - 20, халькопирит - 1, малахит - 1. Спектральным анализом выявлены (в %): медь - 0,2, висмут - 0,005, мышьяк - 0,05, серебро - 0,0005. Проявление (ГУ-Г-1) находится на правобережье р.Бол.Оман-дзя среди позднепалеозойских (?) гранитов. Оно представлено глыбами кварца (до 0,5 м) с гнездами борнита и халькопирита, встречающимися на площади 300x50 м. В четырех штуцерных пробах установлены медь - до 0,3%, серебро - до 0,003%, золото - 0,05 г/т.

Шлихи с халькопиритом (Г-30 зерен) тяготеют к массивам гранитов улукского комплекса. 14 из них выявлены в верхнем течении рек Кустак и Ниж.Чалсук (юго-западная часть Чалсук-Яконского массива), где халькопирит образует комплексный ореол рассеянный вместе с молибденитом, золотом и сфalerитом (Г-Г-1). С этим

ореолом в правобережье р.Иж. Чалдук со временем спектрометрометрический ореол рассеяния меди (I-2-1). Последняя установлена в 32 пробах в количестве 0,005-0,01%. В пределах ореола расположено будопроявление высокого и меди, в связи с чем не исключено более широкое распространение подобной минерализации. В целом, перспективы выявления самостоятельных месторождений меди в районе незначительны.

Свинец, цинк

Рудопроявления относятся к скарновому и гидротермальному типам.

Скарновая минерализация установлена в породах нальдинской свиты верхнего протерозоя, вблизи контактов с гранитоидами Ульского комплекса. Непрорывное месторождение Майское (ГУ-3-4) расположено в истоках р.Риги среди известняков и доломитов. По данным поисково-разведочных работ 1953 г. /19/, оно локализовано в круглоглавой зоне дробления северо-восточного простирания, прослеженной на 1 км. Рудные тела ветвистые. Они представлены сфалеритом, галенитом, халькопиритом, блеклой рудой с подчиненным количеством церуссита, смысонаита и лимонита. Среднее содержание свинца в рудных телах 7,54%, цинка 22,19%.

Авторские запасы руд по кат.С₁ (до глубины 40-290 м): свинца - 3844 т, цинка - 11313 т; по кат.С₂ - свинца - 1736 т, цинка - 9624 т. Разведка рудных тел на глубину не проводилась. На юго-западном фланге месторождения (левобережья р.Чалдрик), поизучавшемся в 1968 г. /14/, с поверхности обнаружена белая минерализация сфалерита и галенита (содержание цинка 0,2%, свинца 0,003%). Литохимическим опробованием аномалии здесь не установлены. Таким образом, прирост запасов по главной зоне Майского месторождения возможен лишь путем дроборазведки ее на глубину.

Рудопроявление цинка ГУ-4-I расположено в левобережье р.Нальди. Здесь, в известняках на контакте с гранитоидами Ульского комплекса, развиты пиритизированные диопсид-грауваковые и трепелитовые скарны. Среди них обнаружены единичные глины с выраженной галенита, содержащие свинец - 0,3% и медь - 0,01%. Литохимическим опробованием по сети 250x50 м геохимические аномалии на этом участке не установлены. Бедная минерализа-

ция галенита и сфалерита обнаружена также в кварцеванных известняках в Маргайском блоке (правобережье среднего течения р.р. Иж. Маргай). Ширина минерализованной зоны 10 м, длина - 150 м. По данным бороздового опробования, максимальные содержания свинца в ней составляют 0,1%, цинка - 0,2%, сопутствующим компонентом является серебро (до 0,01%).

Рудопроявление свинца гидротермального гнейсиса обнаружено в верхнем течении крупного левого притока р.Ногали (ГУ-4-2), в зоне пиритизированных роговиков по тuffам джеконской свиты, на контакте с гранитоидами джурукского комплекса. Ширина зоны 150 м, азимут простирания 70°. Минерализация галенита и сфалерита тонкопрокильская и гнездовая. Максимальное содержание свинца в штуфных пробах 0,5%, цинка 1%.

Штиховым опробованием выявлены два ореола рассеяния галенита и сфалерита. Ореол №-3-1, в бассейнах ручьев Сред. и Ниж. Маргай, приурочен к массиву архейских гранитов (1₁ АК) и небольшому блоку пород нальдинской свиты верхнего протерозоя. Площадь ореола 26 км². Галенит (3-12 зерен) встречен в 26 штихах. Коренные источники галенита не обнаружены. Ореол ГУ-3-3, в истоках р.Риги, тянется к Майскому месторождению свинца и цинка. Его площадь 6 км². Галенит и сфалерит (до 50 зерен) установлены в 10 штихах. Кроме того, сфалерит (до 15 зерен) встречен в 8 штихах в бассейне среднего течения р.Кустак, где он образует компактный ореол рассеяния вместе с молибденитом, золотом и халькопиритом (I-1-1).

Металлометрическим опробованием донных осадков ореол рассеяния свинца и цинка (ГУ-3-2) площадью 7 км² выявлен в районе Майского месторождения. Содержание свинца - 0,003-0,3%, цинка - 0,01-0,5%. Металлометрическим опробованием лента в юго-западной части Чалдрикского блока верхнетретерозойских пород локализован ореол рассеяния цинка и свинца (ГУ-3-5). Он приурочен к полуострововиковых песчаников и известняков. На площади около 2 км² при сети опробования 250x50 м свинец и цинк в количествах 0,007-0,05% обнаружены в 38 пробах при фоновом содержании этих металлов 0,001%.

Практически интересным является лишь скарновый тип оруденения. В Чалдрикском блоке новые рудные тела можно ожидать в пределах спектрометрического ореола в верховых р.Чалдрик. В Нальдинском блоке, по имеющимся полисовским данным, выход круглых рудных тел на поверхность маловероятен.

Р е д к и е м е т а л л и и р а с с е я н и е

Э л е м е н т ы

Молибден

Рудопроявления молибдена имеют гидротермальный генезис и тяготеют к массивам раннемеловых гранитоидов ульского комплекса.

Рудопроявление Г-4-1 расположено в юго-западной части Чалбук-Ляннского массива, в правом борту долины р. Кононный. Приурочено приурочено к маломощным жилам окварцованных пиритизированных аляскитовых гранитов (γK_2), которые трассируют зону разлома северо-восточного простирания шириной 50–60 м. В 2 из 10 штучных проб обнаружен молибден (0,01%) и мель (0,2%).

Три рудопроявления молибдена локализованы в юго-восточной части небольшого массива гранитоидов, в междуречье среднего течения рек Чеборкан и Кононный. Гранитоиды прорывают породы нижнего протерозоя и эффеузивы Джеконской свиты. В свою очередь, они интрузированы телом аляскитовых гранитов (γK_2) и разбиты системой разломов, к которым приурочены лайки породов и порфиритов. Рудопроявление Г-4-4 локализуется в субмеридиональной зоне проявления, тонкопромытого окаринации и пиритизации гранодiorитов шириной 150–200 м, прослеженной по простиранию на 1 км. Породы в ее пределах содержат неравномерную минерализацию молибдена. В 18 из 35 штучных проб установлен молибден в количествах 0,01–0,2%. В 1 км к юго-востоку от этого рудопроявления, среди катаклизированных гранодiorитов, обнаружен развал (0,2 км²) жильного кварца с дисперсным молибденитом и с содержанием молибдена – 0,1–1% (проявление Г-4-5). В восточной части этого же массива (проявление Г-4-3) на контакте гранитоидов с эффеузивами выявлена субширотная зона неравномерной минерализации пирита, гравийного, сфалерита и молибдена в окаринованных тектонических брееках. Ширина зоны 350–400 м. По одному профилю отобраны 23 бороздовых пробы. Содержание молибдена в них 0,002–0,04%, синьча – до 0,3%, цинка – до 1%, золота – до 0,4 г/т. В штучных пробах концентрация молибдена достигает 0,1%.

В междуречье Чалбукин и Лев.Лиги, в краевой части Тигинско-Богдановской зоне, выявлено проявление ГУ-2-4. Оно приурочено к субширотной зоне обзоренных тектонических бреек с сетью тонких прожилков кварца, содержащего дисперсный молибденит. Ширина зоны 50–70 м. Содержание молибдена в штучных пробах до 0,07%.

Минералы молибдена доминируют в четырех шлиховых ореолах рассеяния. Ореол рассеяния молибдента, золота, сфалерита и халькоцирата (Г-1-1) охватывает бассейны среднего течения р. Куюн и Ник. Чалбук. Он вытянут в субширотном направлении, сообразно с очертаниями юго-западной апофизы Чалбук-Лянского массива, прорывающей породы архея и эффеузивы Джеконской свиты. Бдоль разрывов широтного и северо-восточного простираний развиты дайки порфиритов, порфиритов и зоны пиритизации. Площадь ореола около 190 км². Молибденит (до 12 зерен) встречен в 40 шлихах, кроме того, в 19 шлихах обнаружен вульфенит (до 18 зерен). Большинство шлихов с этими минералами сосредоточено в западной части ореола. Ореол рассеяния молибдента Г-4-2 приурочен к южной части массива гранитоидов ульского комплекса в междуречье Чеборкан – Кононный и сопущен с рудопроявлениями молибдена. Площадь ореола около 25 км², молибденит (до 7 зерен) установлен в 16 шлихах.

Ореол рассеяния молибдента, золота и барита ГУ-2-2 расположен в истоках р. Чалбукин, в краевой части Тигинского массива, сложенного диоритами и гранитами ульского комплекса и позднемеловыми гранитами. Эти породы рассечены зонами (до 80 м) пиритизированных тектонических бреек, спорадически содержащих молибденит. Площадь ореола 21 км². Молибденит обнаружен в 13 шлихах (до 7 зерен), золото в 6 шлихах (1–10 зерен), барит в 6 шлихах (до 40% от веса шлиха). Ореол рассеяния молибдента и шеелита ГУ-2-3 расположен выше предыдущего, между реками Чалбукин, и Лев.Лига. Он вытянут вдоль широтной зоны разлома, рассекающей граниты Тигинского массива и контролирующей рудопроявление молибдена ГУ-2-4. На площади 27 км², молибденит (до 10 зерен) обнаружен в 21 шлихе, а шеелит (до 40 зерен) в 44 шлихах. Кроме них встречаются знатки золота (8 шлихов), висмутина и арсенопирита.

Донным опробованием в левобережье среднего течения р. Чеборкан локализован ореол рассеяния молибдена и мели Г-4-1, тяготеющий к телу позднемеловых гранитов, которое рассекает массив ульских гранитоидов. Площадь ореола 16 км². Молибден (0,001–0,005%) выявлен в 11 пробах, мель (0,005–0,01%) в 24 пробах.

Спектрометаллоритическим опробованием деловия в левобережье р. Бол.Бартак выявлен ореол рассеяния молибдена Г-1-2, совмещенный со шлиховым ореолом рассеяния золота, висмутина и молибдена. Он приурочен к разлому северо-восточного простирания, рассекающему гранитоиды Тигинского массива и архейские габбро-андезиты. Разлом сопровождается зоной окварцованных пиритизи-

рованных город шириной до 200 м. Содержание молибдена в них, по данным анализа 5 бороздовых и 10 штрафных проб, листитает 0,005%.

На площади 900x400 м при сети отборования 100x25 м молибден в количествах 0,0005-0,001% установлен в 46 металлогеометрических пробах и с содержанием 0,002-0,005% - в 12 пробах. Концентрация молибдена вне ореола 0,0001%. Сопутствующим компонентом является медь (0,01-0,02% в 12 пробах при фоновом содержании 0,002%). Ореол рекомендуется для дальнейшего изучения.

В бассейне среднего течения р.Салга-Ламту выделен гидрохимический ореол рассеяния молибдена I-II-2. Он тяготеет к зоне текtonического контакта гранитолов Чалбул-Яконского массива с метаморфическими породами архея и совмещен с юго-западной частью ореола рассеяния молибденита, золота, сфalerита, халькопирита.

Его площадь 18 км². Молибден обнаружен в 12 пробах с содержанием в концентрированных осадках 0,0003-0,001%.

Намечаются следующие площади, перспективные для выявления месторождений молибдена: 1) юго-западная часть Чалбул-Яконского массива (бассейн р.Кустак), где совмещены шлиховой и гидрохимический ореолы рассеяния; 2) массив меловых гранитолов в меандрующем среднем течении рек Чеборжан и Кононни, где сосредоточены шлиховой и спектрометаллометрический ореолы рассеяния и три рудопроявления молибдена; 3) меандрующее Лев.Гити и Чаллярин, где выявлены 2 шлиховых ореола рассеяния и рудопроявления молибдена; 4) левобережье среднего течения р.Бол.Баргак, где совмещены шлиховой ореол рассеяния золота, висмута, молибденита и спектрометаллометрический ореол рассеяния молибдена.

Вольфрам

Шеелит наиболее распространен в шлиховых пробах из аллювиальных, размывающих ранненемеловые гранитолы. Он установлен в ряде протолочек скважинных притягивающих катаклизитов вместе с молибденитом и халькопиритом. Содержания вольфрама в них не превышают 0,01-0,02%. В правобережье руч.Ниж.Маргай выделен шлиховой ореол рассеяния с повышенной концентрацией шеелита (Ш-3-2), который тяготеет к выходу карбонатных пород Маргайского блока. Площадь ореола около 4 км². Шеелит (ГГ-47 зерен) встречен в шлихах. Отборованием гидротермально-измененных карбонатных пород в районе этого ореола повышенные содержания вольфрама не

установлены. Но это не исключает возможность обнаружения шеелитоносных скарнов среди известняков верхнего протерозоя.

Ртуть

Ртуть встречена в четырех разобщенных шлихах по р.Топостак и расположенному выше притоку р.Ман.

Висмут

Рудопроявление висмута и меди (I-2-2) на водоразделе рек Кустак и Ниж.Чалбул выявлено в андезитах, образующих рой даек среди гранодиоритов Чалбул-Яконского массива. Оно представлено эпилот-кварц-карбонатной жилой с сульфидами. Ее мощность 0,3 м, залегает простирания II-O⁰, падение вертикальное, видимая длина - 3 м. На всю мощность жилья отобрана залежковая проба, в которой спектральным анализом установлены (в %): висмут - 0,7, медь - 0,5, серебро - 0,01, мышьяк - 0,5, свинец - 0,01, цинк - 0,05. Рудными минералами являются висмутин, галеновисмутит, халькопирит, самородный висмут. В 1 км к востоку от рудопроявления висмутены мелкие обломки обожженных пород с галенитом. Там же, в верхних правых притоках р.Ниж.Чалбул, в трех шлихах обнаружен висмутин (I-7 зерен), в II шлихах - халькопирит и установлен одинный ореол рассеяния меди. На этой площади возможно выявление других проявлений подобного типа.

Висмутин и базовисмутит встречаются в шлихах в верхнем течении рек Чаллярин, Налъди, в бассейнах рек Лев.Гити, Бол.Баргак и Ногали. Они ассоциируют с молибденитом, халькопиритом, шеелитом и золотом.

Редкие земли

Редкоземельная минерализация связана с архейскими пегматитами и раннепротеровской кварц-альбит-микроклиновыми метасоматитами. Пегматиты распространены среди метаморфических пород архея. В бассейне среднего течения р.Кустак выявлено пять

рудопроявлений. Проявление I-I-3 в левом борту долины р.Кустак представлено жилой пегматита мощностью 1,2 м, центральная часть которой (0,5x0,05 м) обогащена фергесонитом и чекинитом. В штуфной пробе установлены (в %): иттрий - 0,1, иттербий - 0,01, лантан - 0,05, церий - 0,1, ниобий - 0,05. На водоразделе рек Салги и Сагга-Лимну (проявление I-I-4) встречена глыба пегматита попечником 0,8 м с фергесонитом (около 5%). Спектральным анализом в ней установлены (в %): лантан - до 1, церий - до 1, ниобий - 0,5-1, тантал - 0,03-0,1, иттрий - 0,2-1, иттербий - 0,03, скандий - 0,01-0,02, лантан - до 0,02. Проявления I-I-2-3, 4, 5 расположены на водоразделе рек Кустак и Лимну. Здесь, на расстоянии около 2 км, встречены в коренном обнажении 3 и в аллювиальных выносах 4 пегматитовых жилы мощностью до 1 м. Рудные минералы представлены орбитом, редко монацитом и фергесонитом (в сумме 5-7%). Спектральным анализом в штуфных пробах установлены (в %): лантан - 0,01-0,5, иттрий - 0,02-0,05, иттербий - 0,01-0,02, ниобий - 0,005-0,1, скандий - 0,002-0,03.

На водоразделе рек Боротон и Лимну (проявление II-II-2) среди архейских гнейсов в интервале 600 м встречены 8 согласных пегматитовых жил мощностью 0,5-1,5 м и длиной до 6-7 м. Они содержат гнеозда и вкрашенность монацита и циркона. Спектральным анализом в штуфных пробах установлены (в %): иттрий - 0,001-0,03, лантан - 0,05-0,07, церий - 0,2-0,5, скандий - 0,01, цирконий - до 0,5.

Раннепротерозойские рудопроявления локализуются в зоне Салгайджанинского разлома, среди рассланцованных фельдшпатизированных пород лантической и куманской свит. Наиболее интенсивная минерализация выявлена в бассейне среднего течения р.Боротон-Макит (правого притока р.Кустак), в двух субдиагональных зонах рассланцевания и фельдшпатизации шириной 200-500 м и протяженностью до 4 км. На участке 9 км² обнаружены 45 точек редкоzemельной минерализации. Почти все они зафиксированы в делювиальных свалах. Наиболее распространены рудопроявления в двухсторонних породоразрушающих стихиях. Эти породы доминируют в зонах рассланцевания. Редкоzemельные минералы (5-10%) в них распределены в виде вкрапленности, гнеоздами и полосами мощностью до 0,8 м. Установлено три типа минерализации: фергесонитовая, орбит-монацитовая и орбитовая. Фергесонитовая встречена в 4 точках в долине р.Боротон-Макит (проявление I-I-9). Для нее характерно резкое преобладание иттриевой группы над цериевой, либо примерно равное их соотношение. В 5 штуфных пробах обнаружены (в %): иттрий - 0,01-0,1, церий - 0,03, лантан - 0-0,3, иттербий - до 0,002, ниобий - 0,002-0,03,

тантал (в 1 пробе) - 0,03. Орбит-монацитовая минерализация (иногда с примесью фергесонита) установлена в 14 разобщенных точках. Содержание (в %): церий в пробах достигает - 0,5-3, лантан - до 0,7, иттрий - 0,03-0,02, ниобий - 0,005.

Наиболее высокой концентрацией редких земель обладают монацитосодержащие амфиболовые бластомиониты, встречающиеся в распаде левого борта долины р.Чеборкан-Макит (проявление II-II-8).

Окончательно доказанный развал этих пород площадью 0,3 км². В 13 штуфных пробах установлены (в %): церий - 0,5-5, лантан - 0,1-3, иттрий - 0,003-0,2, иттербий - до 0,005. Средние содержания первичної группы - 2,5%, иттриевой группы - 0,07%. В нижнем протяженность 2-2,5 м. Спектральным анализом в 3 пробах установлены иттрий - 0,03-0,05% и ниобий - 0,01-0,05%.

К полю архейских редкоzemельных пегматитов в бассейне р.Кустак тяготеет штоковой ореол рассеяния монацита (I-I-5) площадью около 35 км². Монацит (12-50 зерен) обнаружен в 30 штиках. Ореол рассеяния монацита (I-I-7) в бассейне верхнего течения р.Чеборкан вытянут вдоль поля архейских метаморфических полей на 18 км при ширине 4-6 км. Монацит встречен в 70 штиках, из них в 29 в количестве более 10 зерен.

Спектрометрическим опробованием деляния по сети 250x50 м на участке Боротон-Макит оконтурен солевой ореол рассеяния иттрия, иттербия и ниobia (I-I-7). Его длина 3,8 км, максимальная ширина 1,8 км. Он совпадает с полосой проявления редкоzemельной минерализации. Иттрий (0,002-0,005%) встречен в 128 пробах, иттербий (0,0003-0,0005%) - в 59 пробах, ниобий (0,002%) - в 12 пробах.

Наиболее перспективна минерализация в протерозойских бластомиатах, достигшая промышленных концентраций. Фельдшпатизированные гнейсы и метасоматиты могут содержать значительные залежи фелиниево-редкоzemельных руд. Проявления в пегматитах, виду маломощности, разбросанности жил и преобладания орита, определяются ограниченно.

Благородные металлы

Золото

Рудопроявление в среднем течении р.Чеборкан (П-3-2) прору-
ченко к штоку (200x250 м) меловых гранит-порфиров, прорывающих
ранненефлюзовые диориты. Оруденение развито в кругопадающей зоне
неравномерной сульфидизации, окварцевания и эпидотизации этих
пород шириной 40-50 м. В бороздовых пробах содержание золота -
0,01-3 г/т, в штучных - до 5 г/т. Металлometрическим опробова-
нием добычи по сети 250x50 м на площади 2 км² золото (0,01-
3 г/т) обнаружено в 7 разобщенных пробах. Из-за низких содержа-
ний рудопроявление оценено отрицательно.

На остальной территории в оквартированных, сульфидизированных
породах, жильном кварце, бластомилонатах и ороглинизованных конг-
ломератах джелонской свиты устанавливается содержани-
ние золота до десяти долей грамма на тонну.

Непромышленная россыпь в верхнем течении р.Кононный
(Г-4-2) оконтурена по двум линиям штурбов. Ее плата около 4 км,
средняя ширина 30 м, мощность массы 3 м. Среднее содержание зо-
лота в массе 220 мг/м³. Запасы не превышают 100 кг.

Шлиховым опробованием выявлены 4 ореола рассеяния золота.
Ореол П-2-1 расположен в междуречье среднего течения Совебек
и Карылак-Нальды, в северной части Гитинского массива гранито-
лов ульского комплекса. Длина ореола 12 км, средняя ширина 4 км.
Золото (до 10 зерен) установлено в 29 шлихах. Ореол П-4-1, в
среднем течении р.Линды, приурочен к телу ранненефлюзовых граноди-
оритов джугджурского комплекса, рассеченному субширотным разломом.
Площадь ореола 4 км². Знаки золота присутствуют в 6 шлихах. Ореол
ПУ-2-1 расположен в истоках р.Карылак-Нальды в пределах Гитинско-
го массива. Его площадь около 8 км². Знаки золота присутствуют
в 5 из 6 шлихах. Ореол ПУ-3-1 находится в междуречье верхнего
течения рек Карылак и Тиги, в поле развития архейских гранито-
лов, прорванных диоритами и гранитомильтами ульского комплекса.
Эти породы рассечены зоной разлома северо-восточного простирания
и серией даек. Площадь ореола около 16 км². Золото (до 10 зерен)
встречено в 15 шлихах. Данные ореолы, видимо, связаны с общей
минерализацией золота в зонах мезойойских разломов.

Золото присутствует также в комплексных ореолах рассеяния
в бассейне р.Салга-Лимны (Г-1-1) - в 12 шлихах; в верхнем тече-
ни р.Бол.Бартак (Ш-1-1) - в 5 шлихах и в верховьях р.Чамырин

(ГУ-2-2) в 6 шлихах. Оно чаще всего встречается в дессайнах рек
Тити (27 шлихов), Карылак (9 шлихов), Карылак-Нальды (26 шли-
хов), Совебек (14 шлихов) и Бактышляк (7 шлихов). Долины этих
рек расположены в участках выполненного рельефа и благоприятны
для аккумуляции россыпей.

Серебро является спутником полиметаллической мине-
рализации и самостоятельного значения не имеет.

НЕМЕТАЛЛИЧЕСКИЕ ИСКОПАЕМЫЕ

ХИМИЧЕСКОЕ СЫРЬЕ

АЛЮМИТ

Алунит присутствует во вторичных кварцитах по вулканическим
породам джелонской свиты. Проявление Ш-4-2, на водоразделе рек
Промадай и Линды, установлено среди андезитовых порфиритов, прор-
ванных субмеридиональной лайкой фельзитов мощностью 270 м. Вдоль
её восточного контакта развита зона пиритизированных вторичных
кварцитов шириной 100-300 м и протяженностью 1,5 км. Зона вскры-
та двумя линиями канав и опробована 9 бороздовыми пробами. Со-
держание алунита в них колеблется от 2 до 12,3%. Опробованием
других зон вторичных кварцитов, в бассейне р.Чамырин и по р.Мар,
алунит установлен в количестве до 2%. Обнаружение проявления не
представляет практического интереса, но свидетельствует о пер-
спективности вулканических образований района для поисков место-
рождений этого сырья.

ПРОЧИЕ НЕМЕТАЛЛИЧЕСКИЕ

ИСКОПАЕМЫЕ

Сидда-мусковит

Раннепротерозойские мусковитоносные пегматиты сосредоточены
в пределах Матеко-Ульского грабена, среди куманской, лавлинской
свит и кварцевых диоритов (80 РР₁). В междуречье Лимны и Чеборкан

выделена субширотная полоса наибольшего распространения пегматитов длиной 34 км и шириной 3–10 км. В ее пределах выявлено около 200 км с пластинами мусковита площадью выше 2 см². Количество и качество мусковита различное в кмах разных генераций.

К ранней генерации относятся около 95% известных км. Они залегают согласно с гнейсоминостью имеющих пород, имеют мощность до 5 м. Содержание мусковита, как правило, не более 3–5%. Кристаллы деформированы, изогнуты, что снижает их ценность. Наиболее богатая мусковитом согласная жила мощностью 0,4–1,6 м вскрыта на правобережье р.Кажанай (проявление П-2-1). Содержание мусковита в ней 5–10%. Площадь пластин до 100 см².

Более перспективны проявления в секущих кругопадающих жилах поздней генерации. Среди гнейсов они встречаются редко. В правом борту долины р.Лимну (П-2-3) пегматитовая жила рассекает гнейсы и амфиболиты Куманской свиты. Она погружена на юго-восток на 45° /65°. Видимая длина ее 12 м, мощность 2–4 м. Кристаллы мусковита сосредоточены в лежачем боку, где в зоне шириной 0,5–1 м их содержание составляет 20–25%. Средний размер пластин 5 см², максимальный – 120 см². Они погнуты и трещинованы. Склонный строением обладает пегматитовая жила, встречающаяся в виде крупных глыб на подоразделе рек Кажанай и Ниж. Чеборкан-Макат (П-2-2). В ее краевой зоне шириной 0,2 м содержание кристаллов мусковита достигает 25%. Средняя площадь пластин 4–5 см². Кристаллы не деформированы.

Большинство пегматитовых жил второй генерации выявлено в среднем течении р.Чеборкан, в пределах Бактильского массива раннепротерозойских кварцевых диоритов. Здесь, на площади 7 км², вскрыта 21 пегматитовая жила. Кондиционные кристаллы мусковита установлены в 4 из них. Мощность км 0,3–6 м, длина 6,5–15,5 м, заложены погружения контактов 300–320° /50–70°. Площадь пластин мусковита от 12 до 150 см², толщина кристаллов до 12 см. Валовое содержание мусковита в 3 жилах – 1%, в наиболее мощной (проявление П-3-3) – 5–7%. Следа хорошего качества. В 5 км севернее этого проявления, по р.Чеборкан, в квадратных диоритах встречены три сближенные пегматитовые жилы (проявление П-3-1). Их мощность 0,3; 0,4 и 3,5; аз. погружения контактов 307°/70°. Наиболее мощная жила прослежена на 15,5 м. В ее краевых частях концентрация мусковита составляет 20%, размер пластин до 220 см², толщина кристаллов до 15 см, вес моноблоков 6–8 кг. В остальных жилах содержание мусковита 5–7%, а площадь пластин 4–40 см². Кристаллы недеформированы, но некоторые трещинованы. В технологической пробе зерна мусковита залегают согласно с гнейсоминостью имеющихся пород, имеют мощность до 5 м. Содержание мусковита, как правило, не более 3–5%. Кристаллы деформированы, изогнуты, что снижает их ценность. Наиболее богатая мусковитом согласная жила мощностью 0,4–1,6 м вскрыта на правобережье р.Кажанай (проявление П-2-1). Содержание мусковита в ней 5–10%. Площадь пластин до 100 см².

Сом ГЭЗ, 2 кт, отобранный из наиболее богатой мусковитом жилы (П-3-1), выход промышленного сырья составляет 54% от массы залежи. Около 15% кг/т кг/т слюды пригодно для изготовления конденсаторной шаблонки марки "СЭЗ". Мусковит характеризуется чистотой кристаллов и незначительным количеством воздушных включений, однако трещиноватость кристаллов снижает выход кг/т слюды. По результатам поисковых работ (27) поле мусковитоносных пегматитов оценено отрицательно из-за сильной деформированности пластин и малочисленности км с кондиционными кристаллами мусковита. Но наиболее перспективная его часть, в пределах Бактильского массива, изучена недостаточно, и здесь возможно выявление новых км с недеформированным мусковитом.

СТРОИТЕЛЬНЫЕ МАТЕРИАЛЫ

В качестве строительного камня могут быть использованы практически все интрузивные породы района, а также верхнепротерозойские известняки и мраморы. Моноблоки трансверситов и гранитов удского комплекса в южной части Гитинского и Чалдук-Джонского массивов достигают 2,5x4,3 м. Обладая суперизернистой структурой, массивной текстурой и сладкой трещиноватостью, эти породы отвечают требованиям к бутовому материалу и шебню для дорожного строительства. Мраморизованные известняки и их сканированные разновидности (левобережье р.Нальды) могут быть хорошим облицовочным материалом. Мощность их пластов в бассейне рек Тиги, Чаллярин, Нальды и Ниж. Маратай достигает 200–350 м, а моноблоков, ограниченных пластовой отдельностью, – 0,5–2 м. Чистые известняки (левобережье нижнего течения р.Маган), по заключению лаборатории нефтяного сырья КГЭ ЛПГУ, пригодны для получения строительной известки и портландцемента, а коломистине их разности – для получения магнезиального портландцемента. Богатой гаммой цветовых оттенков обладают меловые порфириты, широко распространенные в виде даек мощностью до 200 м в верховых рек Чеборкан, Большой Бартак и в среднем течении р.Карыялак. Их можно использовать как облицовочный и архитектурно-строительный камень. Верхнепротерозойские кварцевые песчаники, содержащие 95–98% кварца, по видимому, можно использовать в стекольной промышленности. Мощность их пластов в Нальдинском, Чалляринском и Маратайском блоках соответственс достигает 70, 140 и 200 м. В поиме р.Май, ниже устья р.Борогон, содержатся большие запасы хорошо отсортирован-

ных галечников, гравия и косовых поимковых песков, пригодных для дорожного строительства и в качестве наполнителей бетона. Мощность отложений достигает 7 м.

ПОДЗЕМНЫЕ ВОДЫ

Воды района подразделяются на надмерзлотные, междумерзлотные и подмерзлотные. По условиям циркуляции они являются пластово-поровыми, трещинными и трещинно-жильными.

Н а д м е р з л о т н ы е в о д ы представлены пластово-поровыми водами различных аллювиальных, ледниковых и аллювиально-делювиальных отложений и трещинными водами метаморфических, интуризивных, вулканических и осадочных пород. Они циркулируют летом. Водоупором их являются вечная мерзлота и кристаллические породы. Питание осуществляется за счет таяния льда и снега, атмосферных осадков и подтока вод других типов.

Наиболее распространены пластово-поровые воды аллювиально-делювиальных отложений. Они проникают сквозь основы и в летнее время встречаются на глубине 0,5–2 м. Их разгрузка происходит в подножьях склонов в виде нисходящих источников. Дебит их 0,3–0,5 л/с, режим неустойчив. Воды чистые, бесцветные либо бледно-желтые, холодные ($7\text{--}10^\circ$), приятные на вкус. Они сладко минерализованы ($M = 0,07\text{--}0,024 \text{ г/л}$), по составу гидрокарбонатные мат-ниево-кальциевые, натриево-кальциевые и натриево-магниево-кальциевые, иногда с примесью аммония, очень мягкие ($0,13\text{--}0,21 \text{ мг-экв/л}$), $\text{pH} = 5,8\text{--}6,9$. К моренам приурочены пластово-поровые воды ледниковых отложений. Области их питания являются склонами каров и тротовых долин. Питание происходит, главным образом, за счет таяния льда и снега, которые, скапливаясь в полых каров, способствуют высокой водообильности отложений. Внешний вид этих вод, повсеместно наблюдается в уступах конечных морен в виде источников с дебитами до 5 л/с. Воды прозрачные, чистые, весьма слабо минерализованы ($M = 0,015; 0,002 \text{ г/л}$), $\text{pH} = 5,8\text{--}6,5$. Они гидрокарбонатные матниево-кальциевые, либо натриево-магниево-кальциевые.

Водоносность аллювиальных отложений невысокомерная. В слабо протаивающих переувлажненных отложениях террас преобладают верховодка и засточные воды зоны азации. Фильтрация их крайне

медленная. Источники, выходящие в уступах террас, обладают низкими дебитами (до 0,3 л/с). Воды желтые, заряженные органическими остатками, непригодные для питья. Большая часть аллювиальных вод соорудочена в поймах рек. Режим их тесно связан с поверхностью водами. Наиболее обильны подпрудные воды. Их источники в застущившие периоды спорадически выходят на поверхность в выступах коренного ложа пересохших русел. Вода весьма слабо минерализованная, сладко кислая, очень мягкая, гидрокарбонатная натриево-кальциевая.

Трещинные надмерзлотные воды циркулируют в коренных породах. Наименьшей трещиноватостью обладают интрузивные породы, наибольшей – осадочно-вулканические и осадочные породы (блеклая гальстовая отдельность). Источники надмерзлотных трещинных вод встречаются в коренных выходах горных пород в подножьях склонов. Дебит их обычно ничтожный. Максимальные его значения (до 0,5 л/с) отмечаются в эфлюзивных породах, а также в местах повышенной текtonической трещиноватости. Окварцевание карбонатных пород не характерно. По химическому составу трещинные воды практически не отличаются от пластово-поровых.

Н а д м е р з л о т н ы е в о д ы. В высоких уступах аккумулятивных террас, по рекам Маи и Лимну отмечались линзы искупаемых льдов мощностью до 0,5 м, относящиеся, по-видимому, к твердой междумерзлотных вод. В террасовых отложениях р.Май и ее главных притоков можно отметить наличие крупных талников под овальными озерами, возникшими, вероятно, в результате вытаявания искупаемых льдов (оз.Амурел). С деятельностию напорных мерзлотных вод, по-видимому, связана часть гидролакомитов и небольших наледей, расположенных вне крупных зон разломов в нижнем течении рек Маган, Гити и Сонадак.

По л м е р з л о т н ы е в о д ы. Выходы подмерзлотных вод встречаются в зонах крупных разломов, контролируемых трещиноватыми гетагнейзитами. Источники этих вод наблюдались в зонах Салгат-Джанынского и Ульхинского разломов (р.Чеборкан), а также южнее крупных разломов, в среднем течении р.Маган и в верховых рек Бол.Оманджи и Чалирин. Источники восходящие, напорные. Их дебит исчисляется нескликими литрами в секунду. Воды прозрачные, чистые, холодные ($7\text{--}8^\circ$), приятные на вкус. Общая жесткость их повышена в сравнении с надмерзлотным водами (до 0,3–0,53 мг-экв/л). По составу они гидрокарбонатные матниево-кальциевые или матниево-натриево-кальциевые. В источнике, приуроченном к зоне интенсивной приразлиции порог (дасс.р.Чалирин), установлены сульфатно-гидрокарбонатные матниевые воды.

В летнее время для целей водоснабжения могут быть использованы все типы подземных вод (кроме застойных). Для круглогодичного водоснабжения пригодны лишь межмерзлотные воды в долинах крупных рек и полимерзлотные воды.

ОЦЕНКА ПЕРСПЕКТИВ РАЙОНА

В районе намечаются проявления пяти металлогенических эпох. С архейской эпохой связаны метаморфические проявления титаномагнетита в габброидах и редкоземельная минерализация в пегматитах. Практического интереса, согласно современным требованиям к сырью, они не представляют.

С раннепротерозойской эпохой связаны мусковитоносные пегматиты, редкоземельные метасоматиты и бластомилониты. По результатам поисковых работ масштаба 1:50 000 пегматиты оценены отрицательно /27/. Недопущенной осталась лишь юго-западная часть Бакитчылакского массива кварцевых диоритов, где по аналогии с проявлениями р. Чеборкан можно ожидать пегматиты с недеформированным мусковитом, но площадь эта мала для того, чтобы предстатьвать значительный интерес. Проявления редких земель, связанных с кварц-альбит-микроклиновыми метасоматитами, локализованы в западной части зоны Салта-Джанинского разлома. Полосы метасоматитов, протягивающиеся вдоль р. Борготон-Макит к низовым р. Лиму, являются наиболее перспективной для выявления месторождений этого сырья. В ее пределах (площадь А-III, рис. 3) особое внимание следует уделить полосам тел монацитоносных бластомилонитов и феррито-сигматолерзантых метасоматитов. Полосы рекомендуется осуществлять в комплексе с геологической съемкой масштаба 1:50 000, с применением шпуровой радиометрической съемки и проходкой поверхностных выработок.

Раннепротерозойские приразломные дифториты в зоне Станови-ка-Луктжура нередко золотоносны /30/. В рассматриваемом районе в подобных породах установлены лишь ничтожные концентрации золота, хотя не исключается наличие более богатого оруденения. Определенный интерес в этом отношении может представить полоса бластомилонитов, контролирующих Улжинский разлом, между нижним течением рек Лиму и Тогостак, где золото часто встречается в шлихах из современного аллювия.

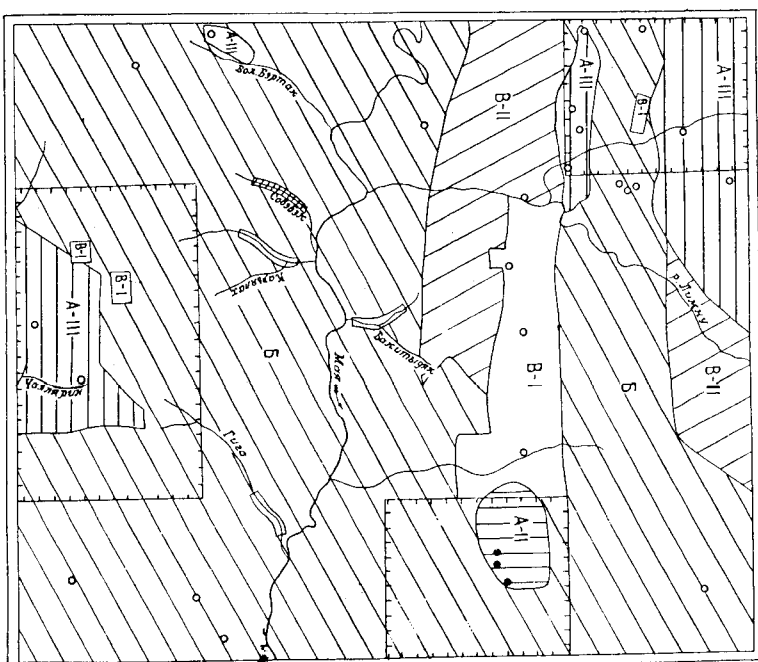


Рис.3. Схема рекомендаций

1 - пломбы, рекомендуемые для геологической съемки масштаба 1:50 000 первой очереди. А. Пломбы, перспективные для выявления месторождений полезных ископаемых; 2 - пломбы выходоврудовмещающих пород и благоприятных структур с перспективнымирудопроявлениями (А-II), 3 - пломбы выходов рудовмещающих пород и благоприятных структур с редкими находками рудных минерализаций (А-III). Б. Пломбы, недостаточно изученные для определения их перспектив; 4 - рекомендуемые для дополнительного шлихового и металлогенического обработания. В. Пломбы, потребующие постановки поисковых работ; 5 - на которых рудопроявления изучены и получены отрицательные результаты (В-I); 6 - геологическое строение которых неблагоприятно для промышленных концентраций руд (В-II); 7 - недопущенные для дополнительного опробования и оценки; 8 - рекомендуемые для дополнительного опробования и оценки; 9 - участки речных долин, рекомендуемые для поисков россыпных месторождений

Рудопроявления, заведомо связанные с позднепротерозойским тектогенезом, не установлены. К палеозойской металлогенической эпохе с долей условности можно отнести слабозолотоносные кварциты жили с борнитом и халькопиритом, встречающиеся в массивах палеозойских (?) гранитов (Г-Г-1).

С мезозойской металлогенией связаны рудопроявления полиметаллов скарнового типа, молибдена, полиметаллов, золота и висмута гидротермального генезиса и аутоитоносные вторичные кварциты. Для развития скарнового оруденения благоприятна лишь щупаль выхолов верхнепротерозойской толщи терригенно-карбонатных пород.

Оруденение в ней распространено и, по-видимому, генетически связано с гранитоидами Улского комплекса, обладающими максимальной из интрузивных пород района концентрацией цинка (до 0,007–0,01%). На этой площади наиболее перспективен Чалляринский блок, где возможен прирост запасов руд за счет доразведки на глубину Майского месторождения и выявления новых тел в районе ореола рассеяния цинка (ГУ-3-5). Вместе с тем, обращает на себя внимание то, что это месторождение, а также ряд белых проявлений и все ореолы рассеяния цинка тяготеют к западной, наиболее глубоко эродированной части выхода толщи. В связи с этим, не исключено, что в менее поднятом Нальдинском блоке в скарнированных породах имеется скрытое на глубине оруденение, признаком которого может являться рудопроявление ГУ-4-1.

Мезозойские гидротермальные проявления, как правило, компактные. Они приурочены к разломам, секущим гранитоидов и жильных пород. В ряде проявлений установлена пространственная связь молибдена с позднемеловыми гранитами (Г-4-1, Г-4-3), висмута и меди с андезитами (Г-2-2), золота и полиметаллов с гранит-порфиритами (Г-3-2). Наиболее многочисленные проявления и сопутствующие им поисковые признаки обнаружены в краевых и апикальных частях массивов гранитоидов улкого комплекса, подвергшихся интенсивному дроблению и гидротермальной переработке. Благоприятным фактором локализации оруденения на этих участках можно считать наличие кровли эфузивов, игравших возможную роль "экранов" при рудообразовании. Подобные геологические условия, в сочетании с прямыми поисковыми признаками, установлены: в юго-западной части Чалук-Яконского массива (среднее течение р.Кустак), в массиве межгоречья среднего течения рек Чеборкан и Кононный и в краевых частях Гитинского массива (бассейны рек Чаллярин и Бол.Бартак). В комплексе гидротермальных проявлений ведущее значение

придается молибдену, который в зонах высокой трещиноватости в гранитоидах образует проявления штокверкового типа, относящиеся к кварц-молибденитовой либо кварц-сульфидной формаций (проявления П-4-3, ГУ-2-4). Не исключается также возможность выявления перспективных проявлений золота и висмута. В свете изложенного, на описываемой территории рекомендуется следующие площади для поисков месторождений молибдена и, отчасти, сопутствующих ему висмута и золота (см.рис.3).

1. Площадь массива меловых гранитоидов в среднем течении рек Чеборкан и Кононный (А-П), где сосредоточены три рудопроявления молибдена, шлиховой ореол рассеяния молибдена и спектрометаллометрический ореол рассеяния молибдена и меди. Здесь застукивают дальнейшего вскрытия и опробования с применением литогеохимической съемки масштаба 1:10 000 зоны проявления П-4-3, 4, 5. В пределах спектрометаллометрического ореола рассеяния молибдена и меди возможно обнаружение новых рудных тел.

2. Юго-западная часть Чалук-Яконского массива (бассейн рек Кустак и Ниж.Чалук, А-Ш), где шлиховой ореол рассеяния молибдена, золота, сфalerита и халькопирита совмещен с рудопроявлением висмута и меди, а также спектрометаллометрическим ореолом рассеяния меди и гидрохимическим ореолом рассеяния молибдена. На этом участке рекомендуется проведение обзорных поисков масштаба 1:25 000 с площадной литогеохимической съемкой и проколкой канав для изучения рудоносных зон. При этом особое внимание должно быть уделено участку развития вулканических пород, вблизи которых сосредоточены шлихи с золотом, молибденитом и вулканитом и горючим даек андезитов, к которому тяготеет медно-висмутовая минерализация.

3. Краевая часть Гитинского массива, в межгоречье Чаллярин и Лев.Гити (А-Ш), где локализованы шлиховые ореолы рассеяния молибдена, шеелита и молибдита, золота, барита и выявлено рудопроявление молибдена. На площади ореолов рекомендуется проведение обзорных поисков масштаба 1:25 000, вскрытие, опробование и прослеживание по простиранию зоны рудопроявления ГУ-2-4 с применением литогеохимической съемки.

4. Краевая часть Гитинского массива, в среднем течении р.Бол.Бартак (А-Ш), где совмещены шлиховой ореол рассеяния золота, висмута, молибдита и спектрометаллометрический ореол рассеяния молибдена. На площади последнего рекомендуется поиски масштаба 1:10 000 с проходкой канав.

Поисковые работы целесообразно проводить в комплексе с геологической съемкой масштаба 1:50 000, с целью уточнения геологи-

ческого строения перспективных площадей. Поскольку такая съемка ведется полностью, в качестве первоочередных рекомендуются площади I-1 (Молмален, золото и редкие земни), II-4 (Молмален), II-2 (Молмален), II-3 (Молмален, синец, цинк).

Для обнаружения россыпных месторождений золота наиболее благоприятны долины нижнего течения рек Карындаш, Сырэбэк, Гын и Бакитчык, расположение в условиях выполненного низкогорья, устланного отсортированным аллювием, в котором шлиховым опробованием установлено золото. Нижние части долин этих рек рекомендуются для поисков россыпного золота.

Наименее перспективными участками (В-II) можно считать юго-западную часть Майско-Ульского традида и глубоко эродированное Икондинский массив и центральную часть Чалбулук-Яконского массива, в пределах которых поисковые работы /17, 27, 28/ не дали положительных результатов.

ЛИТЕРАТУРА

ОПУБЛИКОВАННАЯ

1. Б е л ь т е н е з Е.Б., Л е б е л е в Е.П. Новые данные о возрасте вулканогенных образований Западного Приокотья. Докл. АН СССР, т.182, № 2, 1968.
2. Геохронология докембрия Сибирской платформы и ее складчатого обрамления. "Наука", 1968.
3. З у б к о В.Ф. Тектоническая карта СССР масштаба 1:200 000, лист №53-ИУ, серия Джутильская. Объяснительная записка. Госгеотехиздат, 1962, № 028к.
4. К р а с н ы й Л.И. Тектоническая карта масштаба 1:200 000, лист №53 (Шантарские острова). Объяснительная записка. Госгостехиздат, 1955.
5. К р а с н ы й Л.И. Основные вопросы тектоники Хабаровского края и Амурской области. Материалы ВСЕГЕИ. Новая серия, вып.27, 1960.
6. Л а т л ы н а Г.Д., М и р о н ю к Е.П., М о ш-к и н В.Н., П у т и н ч е в В.К., Р а с с к а з о в Ю.П. Погеномийские метаморфические комплексы Дальнего Востока и схема их расщепления. "Магматические и метаморфические комплексы Дальнего Востока СССР". (Тезисы докладов на Первом дальневосточном петрографическом совещании). Хабаровск, 1967.

7. М о ш к и н В.Н., Ш п а к Н.С. Раннелокоморийские метаморфические образования восточной части хр.Станового и южной части хр.Джутиль. Тр.ВСЕГЕИ. Новая серия, т.122, 1967.

8. М о ш к и н В.Н., Д а г е л а и с к а я И.Н., З л е н-ко Н.Л. Раннелокоморийские интрузивные образования хр.Джутиль и восточной части хр.Станового. Тр.ВСЕГЕИ. Новая серия, т.122, 1967.

9. Т у г а р и н о в А.И., В о й т к е в и ч Т.В. Докембрейская геохронология материков. "Недра", 1970.

10. Ш и х а н о в В.В. Тектоническая карта СССР масштаба 1:200 000, лист №53-Ш, серия Джутильская. Объяснительная записка. Госгеотехиздат, 1962, № 027к.

11. Ш п а к Н.С. Тектоническая карта СССР масштаба 1:200 000, лист №53-П, серия Джутильская. Объяснительная записка. "Недра", 1969, № 019к.

ФОНДОВАЯ

12. Б р а т и н с к и й С.М. Тектоническая карта СССР масштаба 1:200 000, лист №-53-Ш, серия Ульская. Объяснительная записка. 1967, № 0327.
13. В а с с и к и н А.Ф. и др. Тектоническое строение и полезные ископаемые бассейнов верхних течений рек Май и Чогара. (Окончательный отчет Майской партии по геологосъемочным работам масштаба 1:200 000 за 1966-1969 гг.). 1970, № 0492.
14. Г о л з е в и ч Б.Л. и др. Геологическое строение и полезные ископаемые бассейна среднего течения р.Май (Половинной). Окончательный отчет Средне-Майской партии по геологосъемочным и поисковым работам масштаба 1:200 000 в 1966-1969 гг. 1970, № 0491.
15. Г о л о в к о С.В. Карта аномального магнитного поля СССР. Изодипти (ΔТ)а масштаб 1:200 000. №-53. 1964, № 097к.
16. Г о н ч а р о в В.Н. и др. Тектоническое строение и полезные ископаемые бассейнов рек Немерикана и Джаны. (Окончательный отчет Немериканской партии по геологосъемочным работам масштаба 1:200 000 в 1967-1970 г.). 1971.
17. Д е н и с о в С.В., К у з н е ц о в Б.П. Результаты поисков россыпных и рудных месторождений золота в бассейне левых притоков россыпных и рудных месторождений золота в бассейне левых

Х/ Все материалы находятся в фондах ДГТУ.

притоков р.Май (рр.Кононный, Чеборкан, Лимку, Салга, Кун-Манье) и в верхьях р.Эльги в 1965-1966 гг. (Нижне-Майская партия).

1967, № 012539.

18. Д у б р о в н и й М.И., К у з н е ц о в Б.П. Отчет о результатах поисков россыпных месторождений золота в бассейнах рек Ногами, Верх.Эльги, Нелькана (бассейн нижнего течения р.Улы) в 1963. 1964, № ОПОГ.

19. З а в а л с к а я Н.Е., К о р о л ь М.П. Отчет о полево-разведочных работах Майской партии № 545 за 1953 г. 1954, № 04350.

20. К а р с а к о в Л.П. и др. Геологическое строение и полезные ископаемые бассейнов рек Кичум и Лучи. (Окончательный отчет Лучинской партии по геологосъемочным работам масштаба 1:200 000 за 1965-1968 гг.). 1969, № 0442.

21. К у ш е л ь м а н В.Н. Отчет о результатах поисков россыпных месторождений золота в бассейнах рек Чогара и Ульхина (Верхне-Чогарская и Ульханская партия 1966-1967 гг.). 1967, № 012556.

22. К я н н и о А.И. Результаты гравиметрической съемки масштаба 1:1 000 000 в бассейне верхнего течения р.Зея, в бассейнах рр.Ула, Укур и Ам и на правобережье р.Алдан. (Отчет Северной партии за 1968-1969 гг.). 1970, № ОТДО53.

23. Л е в ч е н к о В.А., Р а к о в Н.А. Геологическое строение бассейнов рек Джани, Немерикана и Май (Половинной). Отчет о геологосъемочных работах Майской партии № I в 1949 г. 1954, № 04462.

24. М о ш к и н В.Н. Геологическое строение и полезные ископаемые бассейна р.Май-Половинной. (Отчет о геологической съемке масштаба 1:1 000 000 в Нижне-Амурской области в 1952 г.). 1953, № 04082.

25. М о ш к и н В.Н., А л ь б ো в Ю.А. Геологическое строение и полезные ископаемые восточной части Майского хребта. (Отчет о геологической съемке масштаба 1:200 000 в Нижне-Амурской области). 1954, № 04456.

26. М о ш к и н В.Н., Ш п а к Н.С., З л е н к о Н.Д. Стратиграфия и интрузивные образования архея и протерозоя восточной части хребта Станового и южной части хребта Джуликур, 1961, № 08867.

27. О р л о в В.Н., Д е н и с о в С.В. Отчет о результатах геолого-поисковых работ на рудное и россыпное золото в бассейнах рек Кононный, Чеборкан, Лимку (Нижне-Майская партия, 1965г.). 1966, № ОПОГ.

28. О р л о в В.И., З и л ь б е р ш т е й н В.В. Отчет о результатах поисково-съемочных и поисковых работ на следу-Мусковит, проведенных Чеборканской партией в междуручье Чеборкан-Лимку летом 1967 года, 1968, № 012791.

29. Ф р о л о в Ф.С. Геологическая карта СССР масштаба 1:200 000, лист №-53-ХУ, серия Удокая. Объяснительная записка. 1967, № 0325.

30. Ч е п и н и В.Е. и др. Геологическое строение и полезные ископаемые бассейнов рек Ульхин и Удикан. (Окончательный отчет по геологосъемочным работам масштаба 1:200 000 за 1966-1968 гг., Удиканская партия). 1969, № 0425.

31. Ч е р н я в с к и й В.И., К а р а у л о в В.Б. Геология, полезные виды и полезные ископаемые западного и северо-западного побережья Улской губы. Лист № -53-Х. (Отчет партии № 430 по результатам комплексных геологосъемочных работ масштаба 1:200 000 за 1960 г.). 1961, № 08960.

32. П е р о в и н а Ю.И. Геологическая карта СССР масштаба 1:200 000, лист № -53-ХУ, серия Удская. Объяснительная записка. 1966, № 0332.

Приложение 1

СПИСОК НЕПРОМЫШЛЕННЫХ МЕСТОРОЖДЕНИЙ ПОЛЕЗНЫХ ИСКОПАЕМЫХ,
ПОКАЗАННЫХ НА ЛИСТЕ №-53-УШ КАРТЫ ПОЛЕЗНЫХ ИСКОПАЕМЫХ
МАСШТАБА 1:200 000

СПИСОК ПРОЯВЛЕНИЙ ПОЛЕЗНЫХ ИСКОПАЕМЫХ,
ПОКАЗАННЫХ НА ЛИСТЕ №-53-УШ КАРТЫ ПОЛЕЗНЫХ ИСКОПАЕМЫХ
МАСШТАБА 1:200 000

Индекс кластера на карте	# на карте	Вид полезного иско- паемого и название месторождения	Ссылка на литературу (номер по списку)	Примечание
I	2			
МЕТАЛЛИЧЕСКИЕ ИСКОПАЕМЫЕ				
Ц в е т н ы е м е т а л л ы				
ГУ-3	4	Майское	19,14	Коренное
Б л а г о р о д н ы е м е т а л л ы				
Ц в е т н ы е м е т а л л ы				
I-1	6	Р.Боргой-Макит	14	Мель
I-1	1	Р.Бол.Оманджи	14	Летвиальные обломки кварц-магнетит-гематит- халькоксидовой городни
I-2	1	Р.Ниж.Чандук	14	Летвиальные глыбы кварца с борнитом и халькоксидом
I-4	1	р.Налмы	14	Металлометрический оре- ол, меди
I-4	2	Р.Ногаш	14	Деловиальные обломки мраморов с галенитом
III-3	1	Бассейн руч.Сред. и Ниж.Маргай	14	Зона притяжания рого- виков с галенит-стре- ритовой минерализацией шлаковой ореол галени- та
ГУ-3	3	Р.Лига	14	Шлаковой ореол гале- ниита и сфalerита
ГУ-3	2	Р.Лига	14	Металлометрический ореол свинца и цинка
ГУ-3	5	Р.Чандурин	14	То же

I	2	3	4	5
Р е л к и е м е т а л л и р а с с е я н и е				
э л е м е н т и				
I-4	I			
	R.Кононный	27		
II-4	4	Междуречье Чебор- кан и Кононный	14	Жила пиритизированных Гранитов
II-4	5	Междуречье Чебор- кан и Кононный	27	Зона дробления, ок- варцевания, пирита- ции
II-4	3	Междуречье Чебор- кан и Кононный	27	Деловиальные обломки кварца с молибденитом
II-4	4	Междуречье Чемля- рин и Лев.Лиги	14	Зона дробления и суль- фидизации
I-1	I	Реки Кустак и Ник. Чалбук	14	Зона обохраненных текто- нических брекчий
II-4	2	Междуречье Чебор- кан и Кононный	14	Шлиховой ореол молибде- нина, золота, стялери- та, халькопирита
II-2	2	R.Чемлярин	14	Шлиховой ореол молибо- денита
II-2	3	Реки Чемлярин и Лев.Лига	14	Шлиховой ореол молибо- денита, золота и барита
II-4	1	R.Чеборкан	14	Металлометрический оре- ол молибдена и меди
II-4	2	R.Бол.Бартак	14	Металлометрический оре- ол молибдена
I-1	2	R.Санга-Лимны	14	Гидрохимический ореол молибдена
		Вольфрам		
III-3	2	Руч.Ниж.Марарат	15	Шлиховой ореол шеелита
Висмут				
I-2	2	Водораздел рр.Кус- так и Ниж.Чалбук	14	
		R.Кустак	14	
		Редкие земли	14	
I-1	3		14	
I-2	4	Водораздел рек Сал- ти и Салта-Лимну	14	Пегматитовая жила с фергосонитом и чекинитом
I-1	4	Водораздел рек Кую- так и Лимну	14	Пегматитовая жила с фер- госонитом и монацитом
I-2	3	Водораздел рек Кую- так и Лимну	14	То же
I-2	4	Водораздел рек Кую- так и Лимну	14	"
I-2	5	Водораздел рек Куо- так и Лимну	14	
I-1	1	R.Кустак	14	Жила метасоматитов с фергосонитом
I-1	2	Водораздел рек Бор- готон и Лимну	14	Пегматитовые жилы с монацитом и цирконом
I-1	9	R.Боргон-Макит	14	Деловиный горнорудно- вещественный рассланцованых тнейсов с фергосонитом
I-1	8	R.Боргон-Макит	14	Деловий бластомилонит с монацитом
I-1	5	R.Кустак	14	Шлиховой ореол монашита
I-3	1	R.Чеборкан	14	То же
I-1	7	R.Боргон-Макит	14	Металлометрический оре- ол яттерия, иттерия и ниобия
Б л а г о р о д н ы е м е т а л л ы				
Золото				
II-3	2	R.Чеборкан	14	Зона окварцевания и сульфидизации

I	2	3	4	5
III-1	I	P.Бол.Бартак	I4	Шилковой ореол золота, висмута и молибденита
III-2	I	Реки Совебэк и Кары-Ялак-Нальды	I4	Шилковой ореол золота
III-4	I	P.Люнда	I4	То же
IV-2	I	P.Карылак-Нальды	I4	"
IV-3	I	Реки Карылак и Гига	I4	"

НЕМЕЦАЛИТИСКИЕ ИСКОПАЕМЫЕ

Х и м и ч е с к о е с и р ь e

III-4	2	Водораздел рек Промадей и Люнды	I4	Зона вторичных кварцитов
-------	---	---------------------------------	----	--------------------------

П р о ч и е н е м е т а л л и ч е с к и е
и с к о п а е м н е

Сидда-штоковит

Легматитовая жила

II-2	3	P.Линчу	I4	Легматитовая жила
II-2	1	P.Каканай	I4	То же
II-2	2	Водораздел рек Ка- канай и Ник.Чебор- кан-Макит	I4	Деловальные глыбы

Редактор Р.Н.Ларченко
Технический редактор С.К.Леонова
Корректор Л.П.Сеникова

Сдано в печать 20.12.78. Подписано к печати 11.03.83.
Формат 60х90/16 Печ.л. 6,0 Заказ 632с
Тираж 198 экз.

Центральное специализированное
производственное хозрасчетное предприятие
объединения "Союзгеодонд"